

VISOKA ŠKOLA ELEKTROTEHNIKE I RAČUNARSTVA

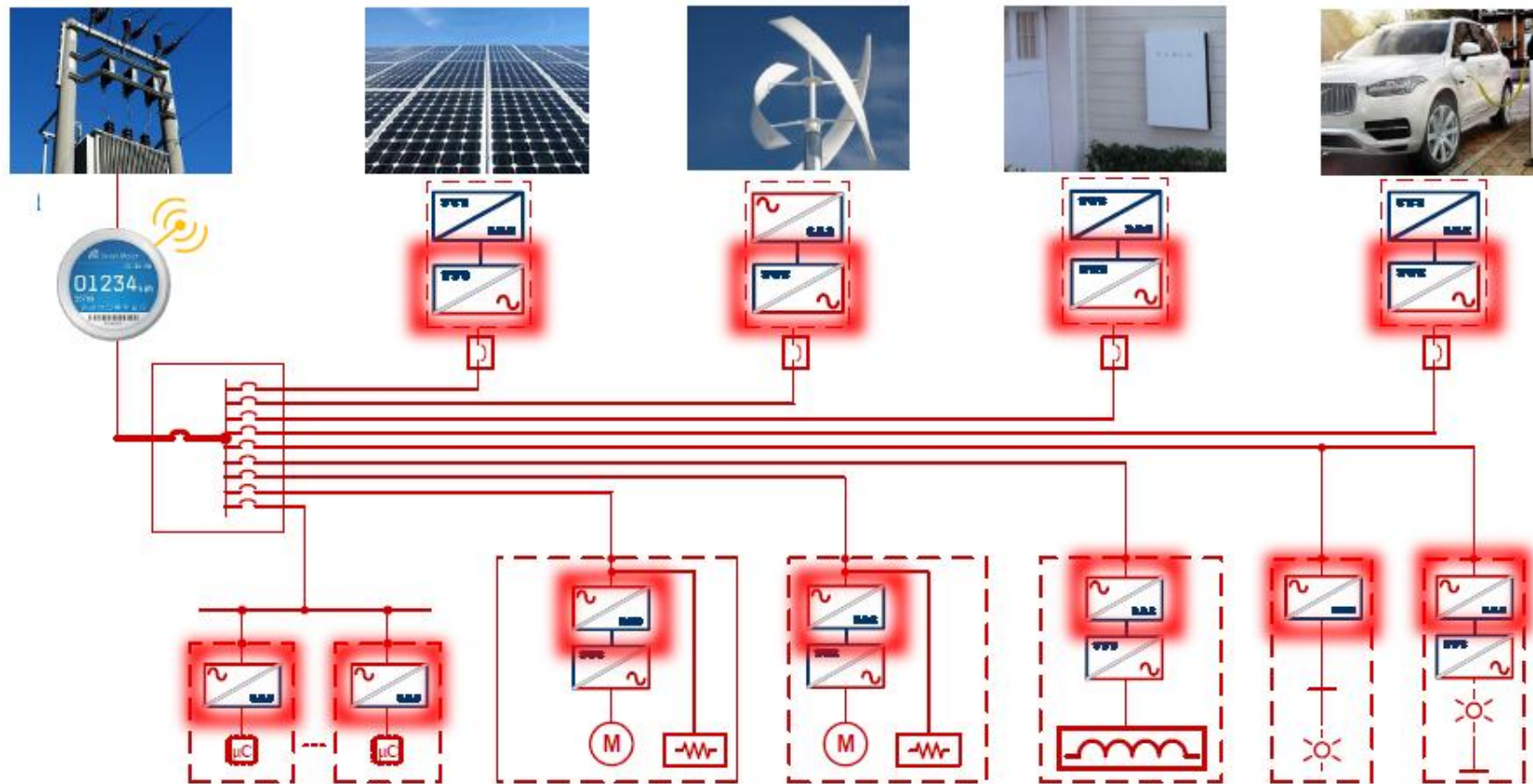
STRUKOVNIH STUDIJA-VIŠER, BEOGRAD

STUDIJSKI PROGRAM: MASTER STUDIJE-ELEKTROTEHNIČKO INŽENJERSTVO

PREDMET : PROJEKTOVANJE ELEKTROENERGETSKIH PRETVARAČA



# UTICAJ ENERGETSKIH PRETVARAČA NA GENERISANJE VIŠIH HARMONIKA U NAPOJNOJ MREŽI



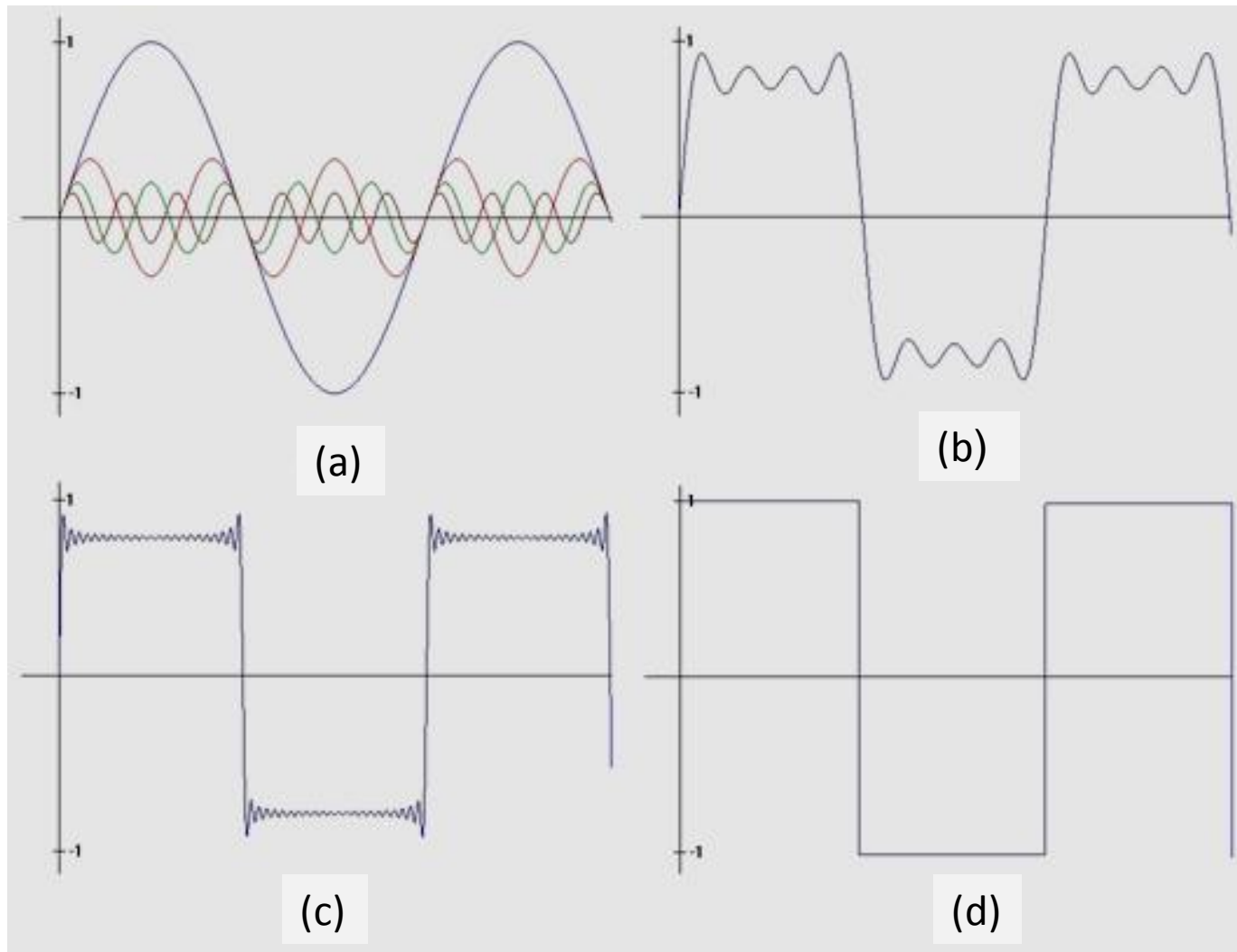
Predmetni profesor: Dr Željko Despotović, dipl.el.inž

# UVOD

- Električna energija se obično prenosi u vidu tri naponska, odnosno strujna talasa koji formiraju sinusni (kosinusni) trofazni sistem
- Jedna od bitnih karakteristika ovih talasnih oblika je što moraju biti što biži po svojim vrednostima sinusnom (kosinusnom) talasnom obliku.
- Ako su ovi talasni oblici izobličeni iznad određenih limita, oni moraju biti korigovani da bi zadovoljili prethodni zahtev
- Izvori izobličenja i harmonika u mrežama su: električne lučne peći, statički elektroenergetski pretvarači, sistemi osvetljenja i sl.
- Osnovni cilj predavanja je da obezbedi sveobuhvatnije razumevanje problema koji potiču od izvora izobličenja i harmonika uključujući i njihove uzroke
- U predavanju će biti predstavljeni neki tipični problemi i koji su posledica viših harmonika u mreži, kao i rešenja koja daju zadovoljavajuće rezultate u praktičnim primenama

# ŠTA SU UOPŠTE HARMONICI?

- U AC industrijskim energetskim mrežama promene struje i napona u vremenu,  $i(t)$  i  $u(t)$ - (vremenski talasni oblici) se u opštem slučaju razlikuju od čistog harmonijskog sinusnog (kosinusnog) talasa



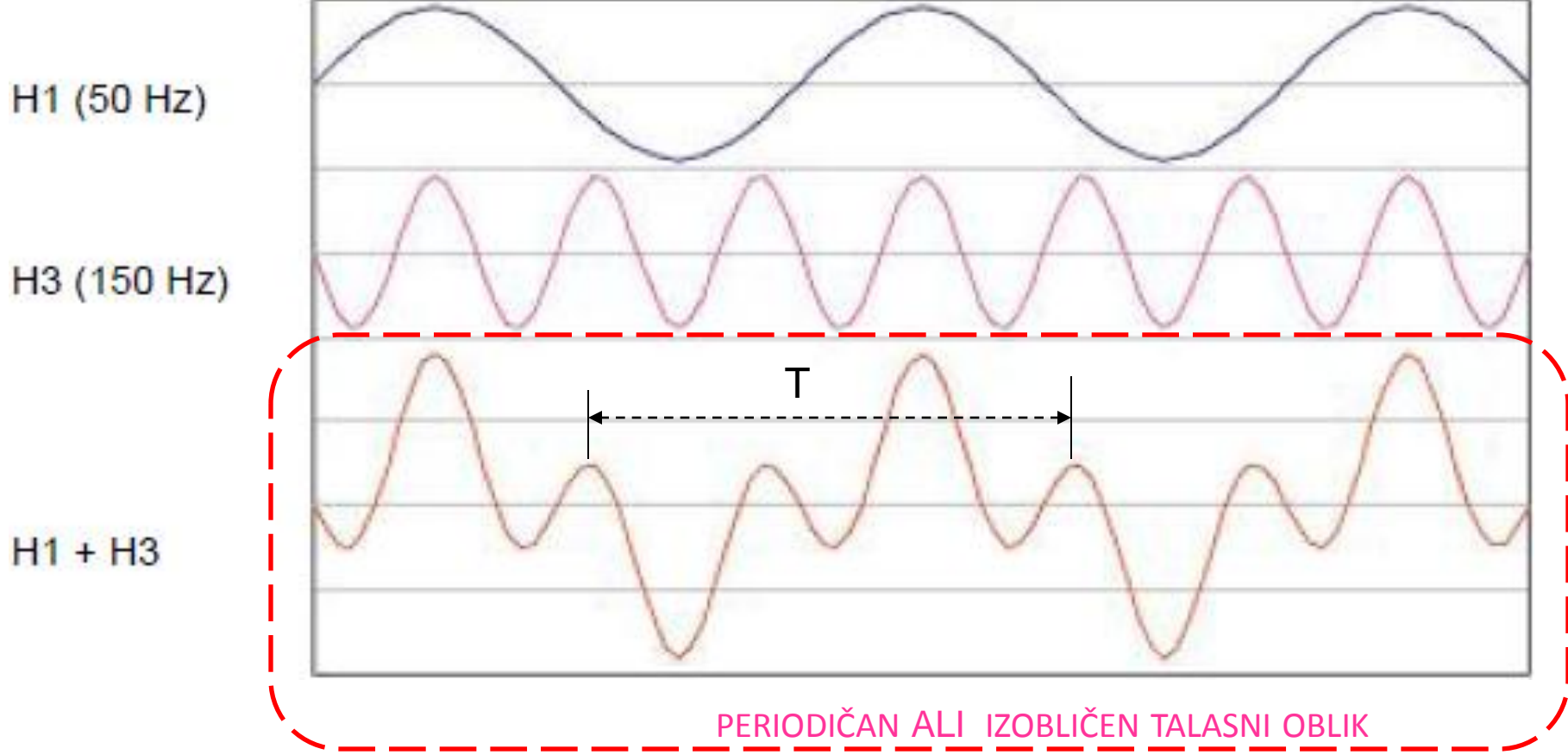
Posmatrajmo uopšteno pravogaoni talasni oblik struje ili napona dat na sl. (d) . Ovaj talasni oblik se približno može predstaviti sa talasnim oblikom na sl.(b) kao zbir četiri prostoperiodična sinusna talasa, odnosno četiri HARMONIKA kao što pokazuje slika (a). To su harmonici učestanosti:

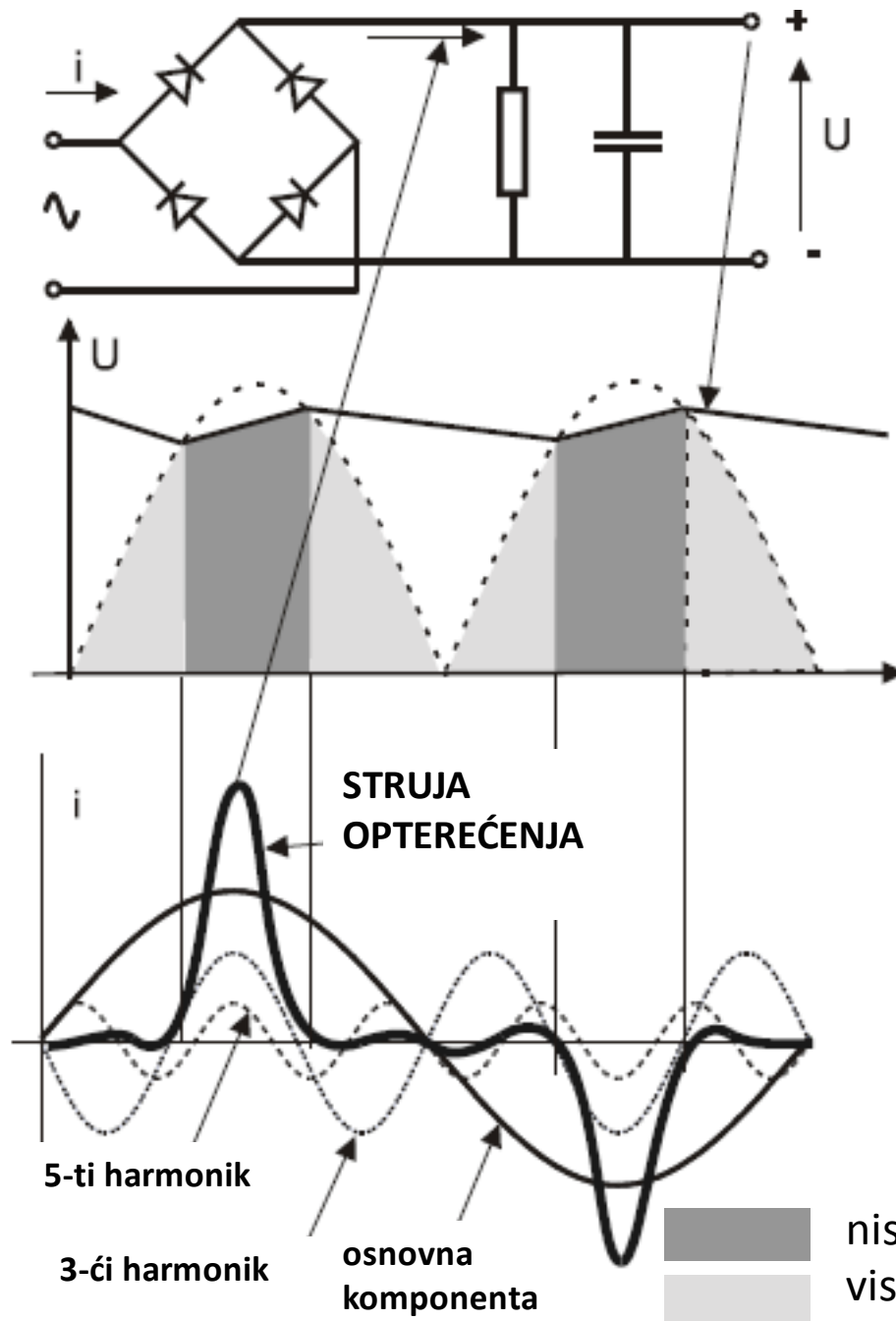
**f<sub>1</sub>-osnovni harmonik i ostali viši harmonici :**

$$f_3=3f_0, f_5=5f_0, f_7=7f_0$$

Na sl.(c) je dat talsni oblik kao zbir osnovnog Harmonika  $f_0$  i 22 viša harmonika  $3f_1, 5f_1, 7f_1, 9f_1, \dots$

# ZBIR OSNOVNOG HARMONIKA I TREĆEG HARMONIKA



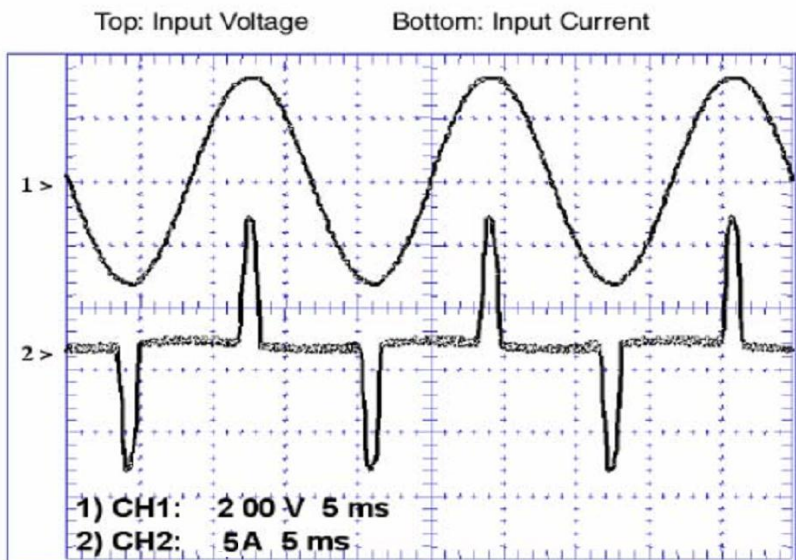


Tipično nelinearno opterećenje- izvori napajanja  
(PC napajanje, tazni ispravljači)

### Izvor viših harmonika što se tiče struje

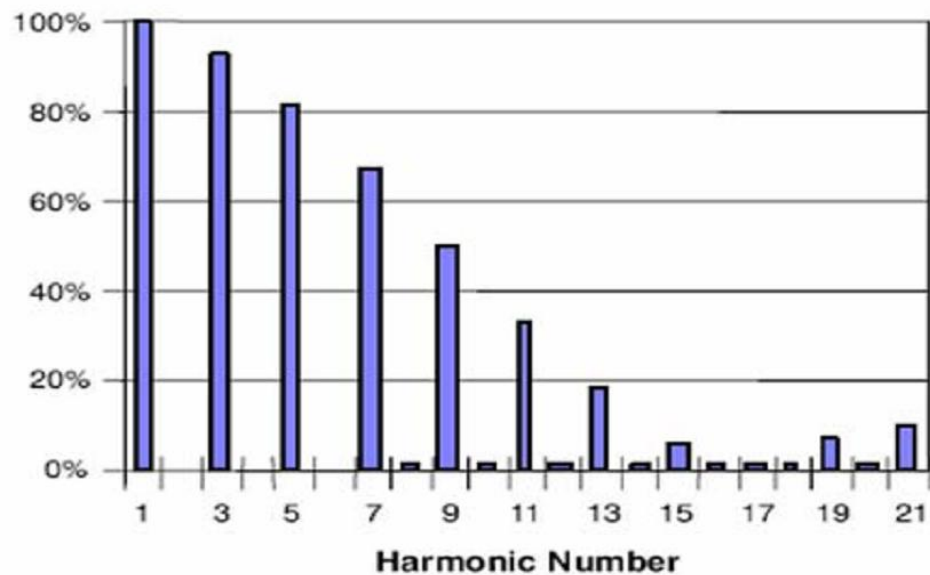
STRUJA OPTEREĆENJA je "bogata" harmonijskim sadržajem

# REALAN SNIMAK ULAZNOG NAPONA I ULAZNE STRUJE JEDNOG PC NAPAJANJA 220W (220V/1A)



OCILOSKOPSKI SNIMAK

VRŠNA VREDNOST ULAZNE STRUJE 10A  
TRAJANJE STRUJNOG PIKA OKO 1ms



SADRŽAJ HARMONIKA

# ŠTA SU HARMONIJSKE KOMPONENTE?

- Termin HARMONIJSKA komponenta ili HARMONIK se odnosi na bilo koju od sinusnih komponenti, čija je učestanost jednaka celobrojnom umnošku učestanosti osnovne komponente  $f_1$ .
- Amplituda harmonika je u opštem slučaju određeni % od amplitude osnovne (fundamentalne) komponente  $f_1$ .

# ŠTA JE RED HARMONIKA?

- Red harmonika (harmonijski broj)- n
- HARMONIC ORDER (engl.)
- Reh harmonika (harmonijski broj) je odnos učestanosti n-tog harmonika  $f_n$  i učestanosti osnovne (fundamentalne) komponente  $f_1$

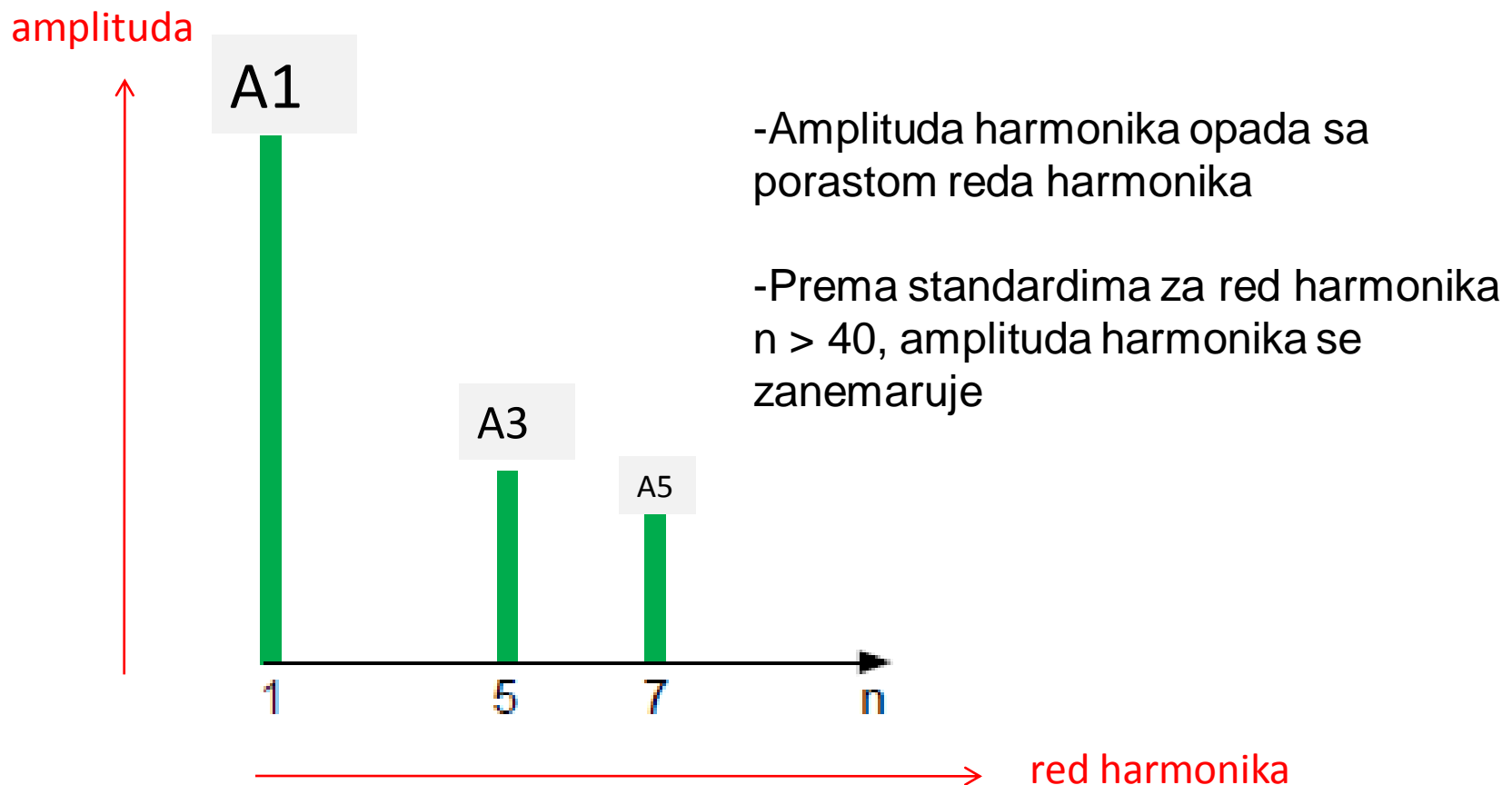
$$n = \frac{f_n}{f_1}$$

U energetici je obično  $f_1=50\text{Hz}$  ( $60\text{Hz}$ )

Red harmonika osnovne učestanosti je jednak 1

# ŠTA JE SPEKTAR HARMONIKA?

- Spektar harmonika je raspodela amplituda različitih harmonika u funkciji reda harmonika
- Često se spektar harmonika daje pregledno u obliku histograma



# ŠTA JE FURIJEOV RED?

- Bilo koji periodični talasni oblik  $y(t)$ , nepravilan ili izobličen, može se predstaviti matematičkim redom – FURIJEOVIM REDOM u formi:

$$y(t) = Y_0 + \sum_{n=1}^{n=\infty} Y_n \sqrt{2} \sin(n\omega t - \varphi_n)$$

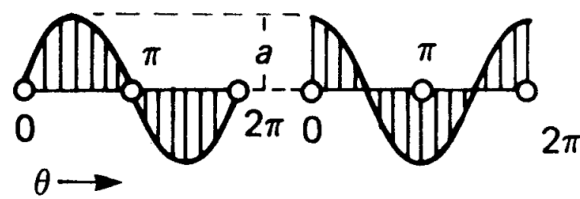
Amplituda DC komponente  
(u opštem slučaju za distributivnu mrežu jednaka nuli)

Efektivna vrednost (RMS) n-tog harmonika

Fazni ugao n-tog harmonika

KAKO IZGLEDAJU FURIJEovi REDovi NEKIH IZOBLIČENIH TALASNIH OBЛИKA KOJI SE NAJЧEŠĆE SUSРЕĆU U ENERGETSKIM POSTROJENJIMA?

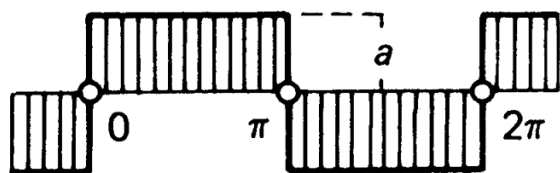
## TALASNI OBLIK



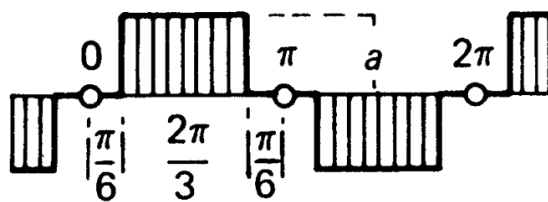
## FURIJEOV RED

Sine:  $a \sin \theta$

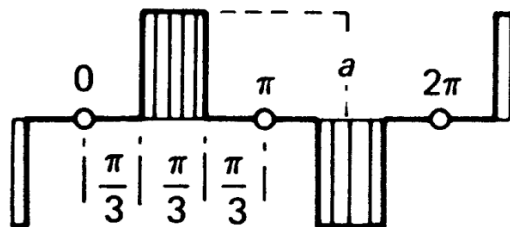
Cosine:  $a \sin \theta$



$$a \frac{4}{\pi} \left[ \frac{\sin \theta}{1} + \frac{\sin 3\theta}{3} + \frac{\sin 5\theta}{5} + \frac{\sin 7\theta}{7} + \dots \right]$$

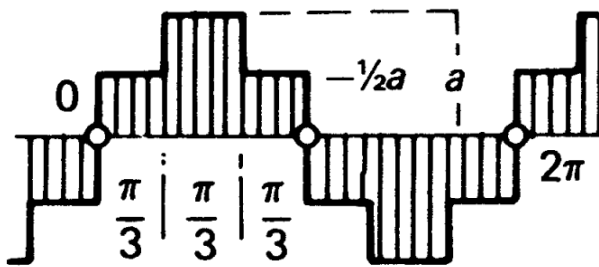


$$a \frac{2\sqrt{3}}{\pi} \left[ \frac{\sin \theta}{1} - \frac{\sin 5\theta}{5} - \frac{\sin 7\theta}{7} + \frac{\sin 11\theta}{11} + \frac{\sin 13\theta}{13} - \frac{\sin 17\theta}{17} - \dots \right]$$



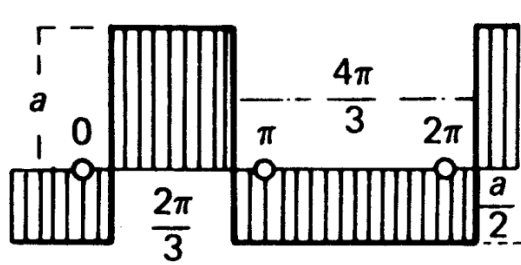
$$a \frac{4}{\pi} \left[ \frac{\sin \theta}{2 \cdot 1} - \frac{\sin 3\theta}{3} + \frac{\sin 5\theta}{2 \cdot 5} + \frac{\sin 7\theta}{2 \cdot 7} - \frac{\sin 9\theta}{9} + \frac{\sin 11\theta}{2 \cdot 11} + \frac{\sin 13\theta}{2 \cdot 13} - \frac{\sin 15\theta}{15} + \frac{\sin 17\theta}{2 \cdot 17} + \dots \right]$$

## TALASNI OBLIK

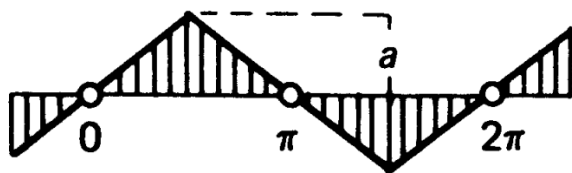


## FURIJEOV RED

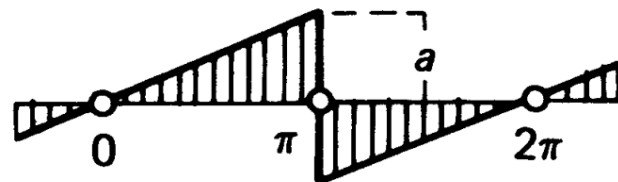
$$a \frac{3}{\pi} \left[ \frac{\sin \theta}{1} + \frac{\sin 5\theta}{5} + \frac{\sin 7\theta}{7} + \frac{\sin 11\theta}{11} + \frac{\sin 13\theta}{13} + \frac{\sin 17\theta}{17} + \dots \right]$$



$$a \frac{3\sqrt{3}}{2\pi\zeta} \left[ \frac{\sin \theta}{1} - \frac{\sin 5\theta}{5} - \frac{\sin 7\theta}{7} + \frac{\sin 11\theta}{11} + \frac{\sin 13\theta}{13} - \dots \right. \\ \left. - \frac{\cos 2\theta}{2} - \frac{\cos 4\theta}{4} + \frac{\cos 8\theta}{8} + \frac{\cos 10\theta}{10} - \dots \right]$$

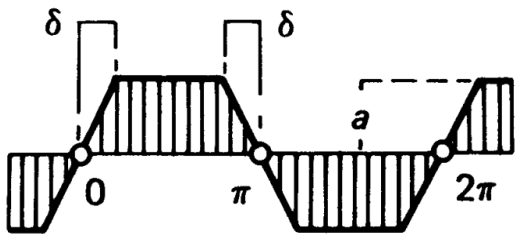


$$a \frac{8}{\pi^2} \left[ \frac{\sin \theta}{1} - \frac{\sin 3\theta}{9} + \frac{\sin 5\theta}{25} - \frac{\sin 7\theta}{49} + \frac{\sin 9\theta}{81} - \frac{\sin 11\theta}{121} + \dots \right]$$



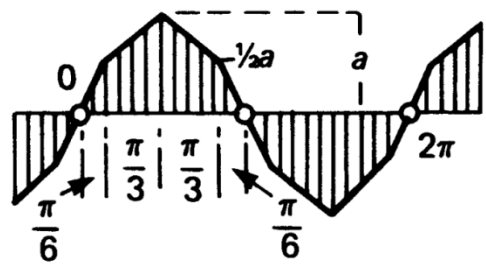
$$a \frac{3}{\pi} \left[ \frac{\sin \theta}{1} - \frac{\sin 2\theta}{2} + \frac{\sin 3\theta}{3} - \frac{\sin 4\theta}{4} + \frac{\sin 5\theta}{5} - \dots \right]$$

## TALASNI OBLIK



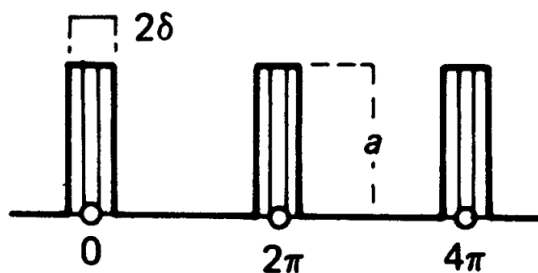
## FURIJEOV RED

$$a \frac{4}{\pi\delta} \left[ \frac{\sin \delta \cdot \sin \theta}{1} + \frac{\sin 3\delta \cdot \sin 3\theta}{9} + \frac{\sin 5\delta \cdot \sin 5\theta}{25} + \dots \right]$$

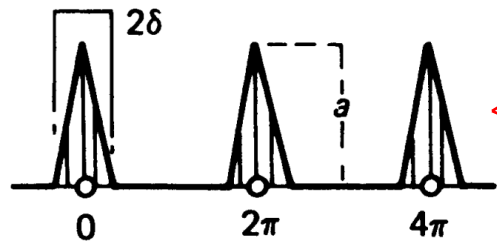


$$a \frac{9}{\pi^2} \left[ \frac{\sin \theta}{1} + \frac{\sin 5\theta}{25} - \frac{\sin 7\theta}{49} + \frac{\sin 11\theta}{121} - \frac{\sin 13\theta}{169} + \dots \right]$$

DC komponenta



$$a \frac{\delta}{\pi} + a \frac{2}{\pi} \left[ \frac{\sin \delta \cdot \cos \theta}{1} + \frac{\sin 2\delta \cdot \cos 2\theta}{2} + \frac{\sin 3\delta \cdot \cos 3\theta}{3} + \dots \right]$$

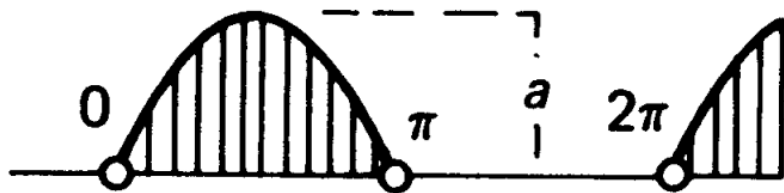


$$a \frac{\delta}{2\pi} + a \frac{4}{\pi\delta} \left[ \frac{\sin^2(\frac{1}{2}\delta)}{1} \cos \theta + \frac{\sin^2 2(\frac{1}{2}\delta)}{4} \cos 2\theta + \frac{\sin^2 3(\frac{1}{2}\delta)}{9} \cos 3\theta + \dots \right]$$

Dirakovi  
Impulsi  $\delta \ll \pi$

$$a \frac{\delta}{2\pi} + a \frac{\delta}{\pi} [\cos \theta + \cos 2\theta + \cos 3\theta + \dots] \quad \delta \ll \pi$$

# POLUTALASNI ISPRAVLJAČ



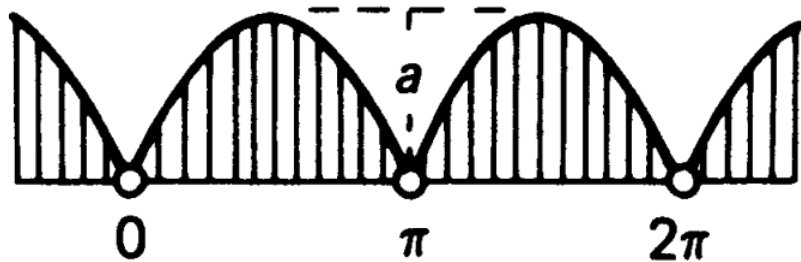
Signal kod polutalasnog ispravljača

$$a \frac{1}{\pi} + a \frac{2}{\pi} \left[ \frac{\pi \sin \theta}{4} - \frac{\cos 2\theta}{1 \cdot 3} - \frac{\cos 4\theta}{3 \cdot 5} - \frac{\cos 6\theta}{5 \cdot 7} - \dots \right]$$

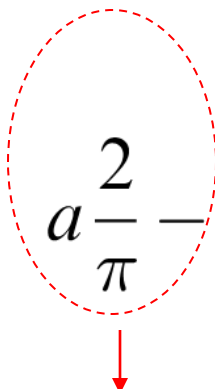
Furijeov red

jednosmerna (DC) komponenta signala

# PUNOTALASNI ISPRAVLJAČ



Signal kod punotalasnog ispravljača

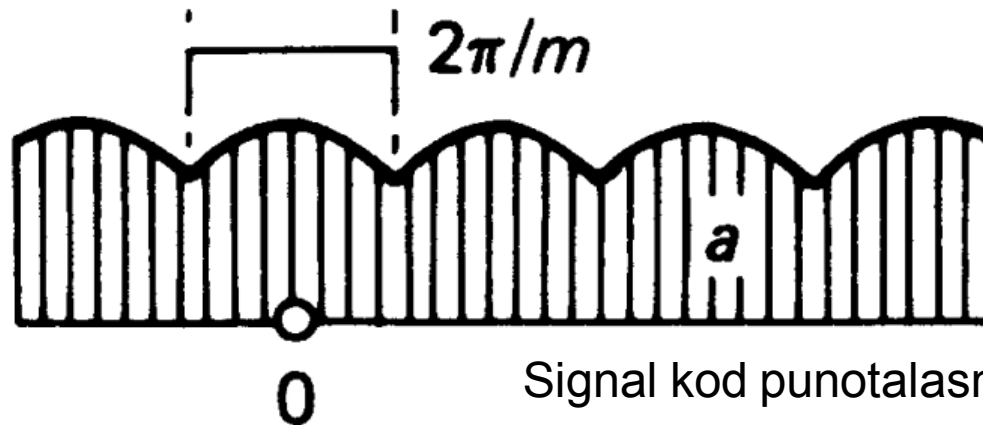


$$a \frac{2}{\pi} - a \frac{4}{\pi} \left[ \frac{\cos 2\theta}{1 \cdot 3} + \frac{\cos 4\theta}{3 \cdot 5} + \frac{\cos 6\theta}{5 \cdot 7} + \frac{\cos 8\theta}{7 \cdot 9} + \dots \right]$$

Furijeov red

jednosmerna (DC) komponenta signala

# m-pulsni ispravljač



Signal kod punotalasnog ispravljača

$$a \frac{m}{\pi} \sin \frac{\pi}{m} + a \frac{2m}{\pi} \sin \frac{\pi}{m} \left[ \frac{\cos m\theta}{m^2 - 1} - \frac{\cos 2m\theta}{4m^2 - 1} + \frac{\cos 3m\theta}{9m^2 - 1} - \dots \right]$$

Furijeov red

jednosmerna (DC) komponenta signala

m-ceo broj , m>1

m = 3 (trofazni triopulsni ispravljač)

m = 6 (trofazni šestopulsni ispravljač)

# EFEKTIVNA VREDNOST IZOBLIČENOG TALASNOG OBLIKA

- Za čisto peostoperiodični talasni oblik(sinusni, odnosno kosinusni) efektivna vrednost je jednaka **MAX VREDNOST/ $\sqrt{2}$**
- Za izobličeni talasni oblik, u ustaljenom stanju, energija disipirana Džulovim efektom, je jednaka zbiru energija disipacije svake pojedinačne harmonijske komponente (harmonika):

$$\cancel{RI^2 t} = \cancel{RI_1^2 t} + \cancel{RI_2^2 t} + \dots + \cancel{RI_n^2 t}$$

$$I^2 = I_1^2 + \dots + I_n^2 = \sqrt{\sum_{n=1}^{n=\infty} I_n^2}$$

# HARMONIJSKI ODNOS-SADRŽAJ HARMONIKA

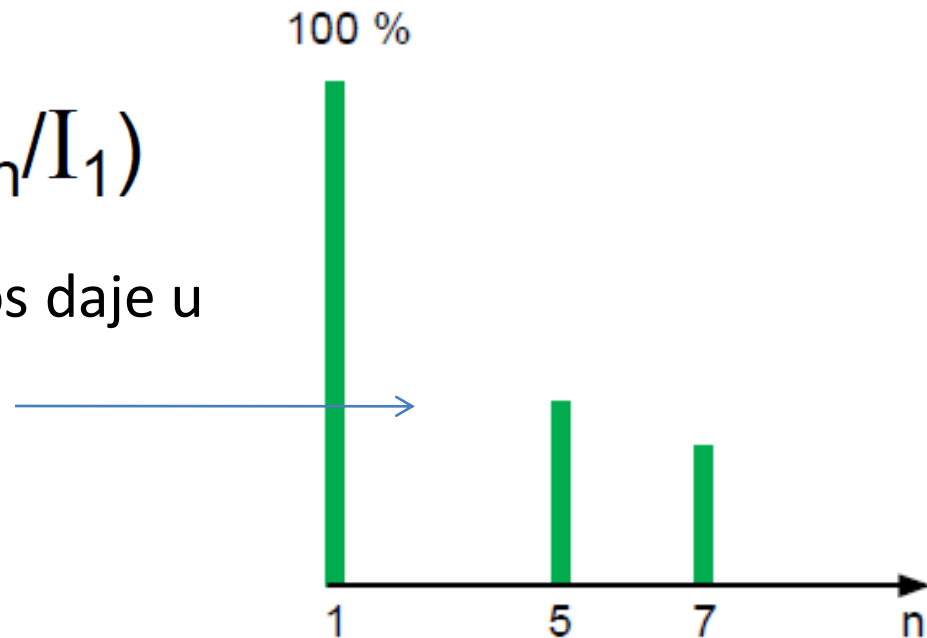
- Obično se radi o procentualnom iznosu
- Odnos RMS vrednosti n-tog harmonika i RMS vrednosti osnovnog harmonika
- Harmonijski odnos n-tog harmonika  $I_n$  (*nije nominalna vrednost*):

$$I_n/I_1$$

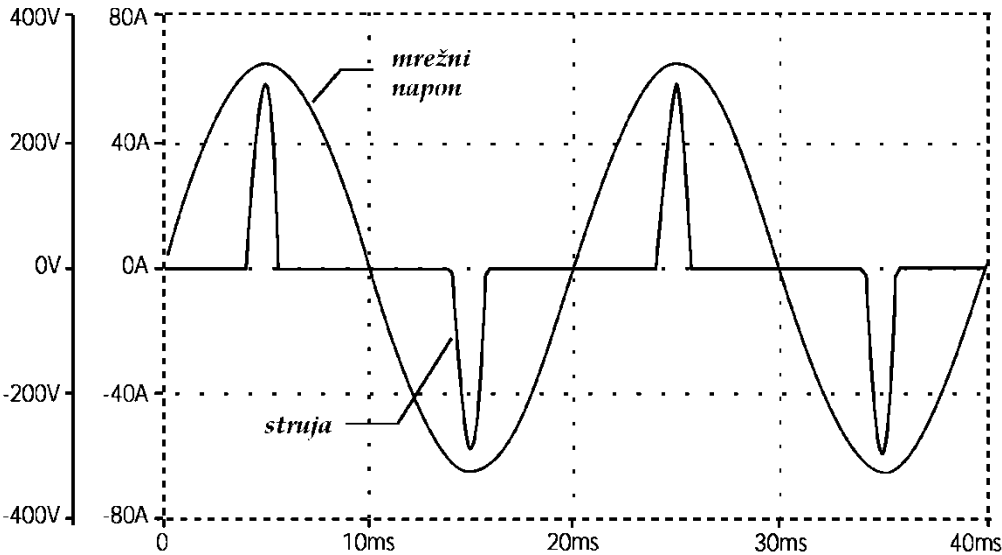
Ili u procentima (%)

$$100(I_n/I_1)$$

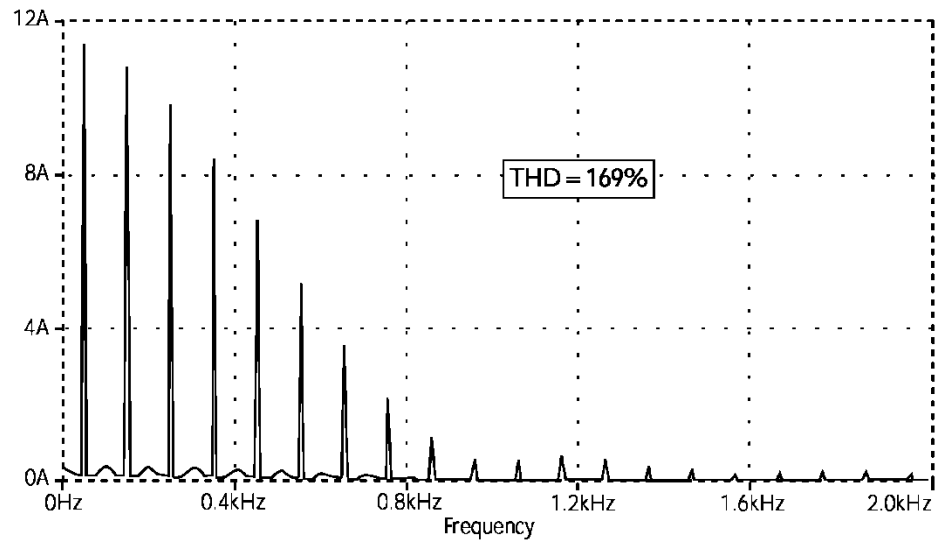
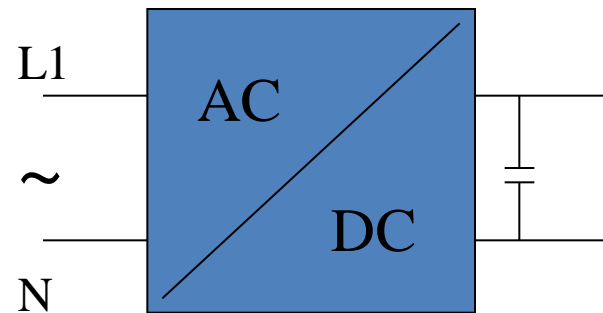
Obično se harmonijski odnos daje u funkciji reda harmonika-n



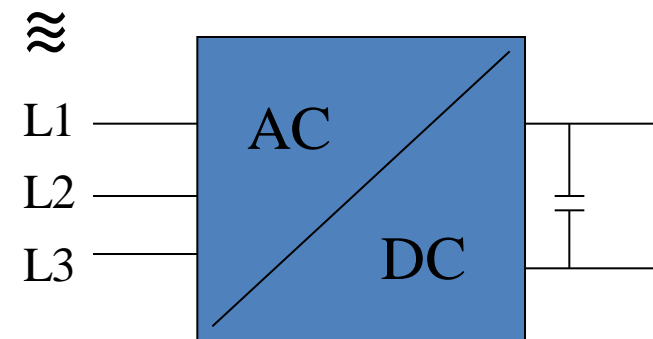
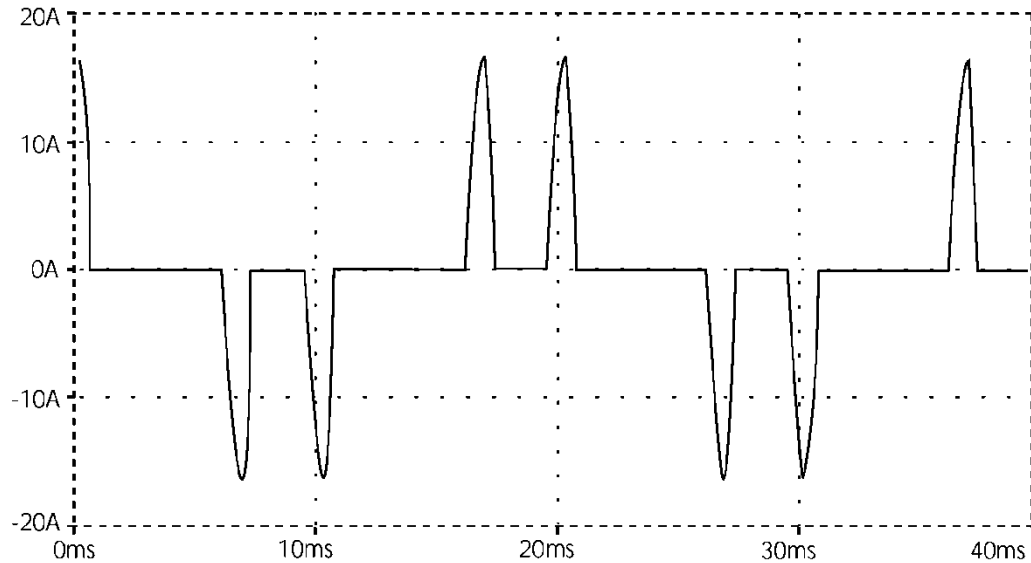
# HARMONICI-monofazni nelinearni prijemnik



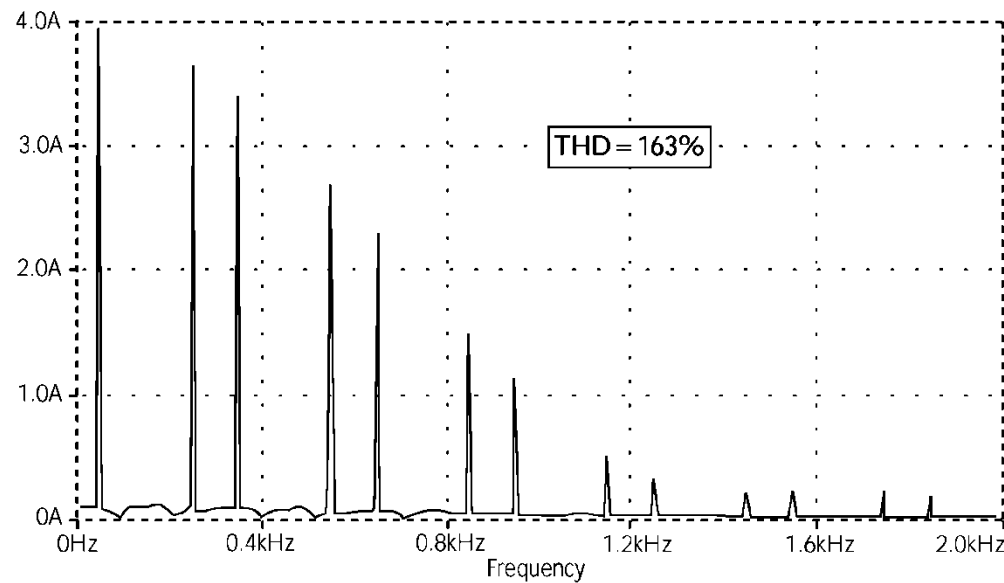
Tipični talasni oblik ulazne struje monofaznog AC-DC pretvarača snage 1.5kW



# HARMONICI-trofazni nelinearni prijemnik



Tipični talasni oblik ulazne struje trofaznog AC-DC pretvarača snage 1.5kW



# UKUPNO HARMONIJSKO IZOBLIČENJE- THD

- Total Harmonic Distortion (THD)
- Ponekad se samo naziva distorzija, a označabva se sa D
- THD kvantitativno izražava termički efekat viših harmonijskih komponenti (sve ostale osim osnovnog harmononika)
- THD se izračunava na osnovu dve definicije odnosno na dva načina!!!!!!
- Jedna uzima u obzir odnos svih viših harmonika i osnovne komponente, dok druga uzima u obzir odnos svih viših harmonika i ukupne efektivne vrednosti

# OSNOVNA JEDNAČINA ZA THD

- Prema standardu IEC 61000-2-2

$$D = \sqrt{\frac{\sum_{n=2}^{\infty} Y_n^2}{Y_1^2}}$$

Po ovoj definiciji D može imati vrlo velike vrednosti (>>1)

# DRUGA DEFINICIJA ZA THD

- U slučaju kada hoćemo da vrednosti D normalizujemo na opseg  $0 < D < 1$  koristimo definiciju:

$$D = \sqrt{\frac{\sum_{n=2}^{\infty} Y_n^2}{\sum_{n=1}^{\infty} Y_n^2}}$$

NAPOMENA: *Ukoliko nije drugačije naznačeno koristićemo definiciju po IEC 61000-2-2*

# **GLAVNE SMETNJE IZAVANE HARMONONICIMA STRUJE I NAPONA**

- Harmonici struje i napona superponirani na osnovni harmonik imaju složeni uticaj na opremu i uređaje koji su povezani u napojnoj mreži
- Negativan uticaj ovih viših harmonika zavisi od tipa opterećenja i obuhvata:
  - trenutne efekte
  - dugotrajne efekte (posledica grejanja)

# TRENUTNI EFEKTI VIŠIH HARMONIKA

- Harmonici napona mogu remetiti rad kontrolera koji se koriste u upravljačkim elektronskim sistemima (na primer poremećaj sinronizacije tiristorskih pretvarača)
- Harmonici mogu prouzrokovati dodatne greške u brojilima sa obrtnim diskom (na primer brojilo klase tačnosti 2 će povećati grešku za 0.3% usled 5-tog harmonika u struji i naponu, sadržaja 5%)
- MTK uređaji daljinske kontrole u distributivnim preduzećima mogu biti značajno ometani prisustvom viših harmonika u mreži
- Vibracije i šum
- Interferenca komunikacionih i kontrolnih kola

# VIBRACIJE I ŠUM

- Elektrodinamičke sile proizvedene trenutnim vrednostima struja (sa visokim harmonijskim sadržajem) mogu izazvati buku i vibracije, odnosno tzv. *akustički šum*
- Naročito se ovo odnosi na elektromagnetne uređaje (transformatori, električne mašine, reaktori,...)
- Pulsirajući mehanički obrtni momenat usled harmonika struja, odnosno harmonika obrtnih polja mogu proizvesti vibracije u obrtnim mašinama

# INTERFERENCA KOMUNIKACIONIH I KONTROLNIH KOLA

- Poremećaj se primećuje kada se komunikaciona i upravljačka kola nalaze na strani izobličenog mrežnog napajanja
- Parametri koji se moraju uzeti u obzir uključuju dužinu paralelnih kola, međusobno rastojanje između njih, učestanosti viših harmonika i sl.
- Stepen sprege raste sa povećanjem učestanosti odnosno sadržaja harmonika

# DUGOTRAJNI EFEKTI VIŠIH HARMONIKA

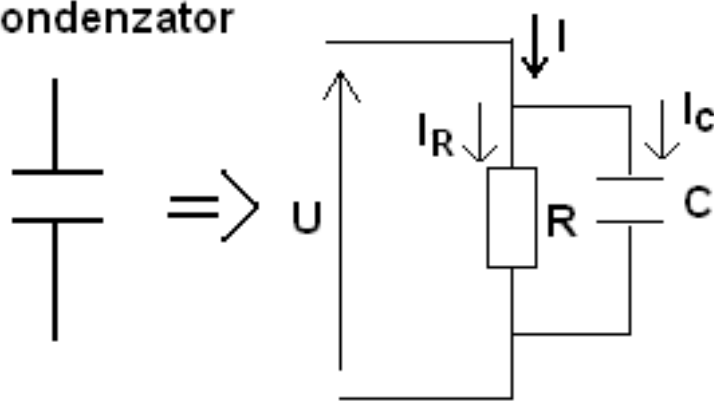
- Pored mehaničkog zamora i vibracija jedan o dugotrajnih efekata koji ima značajan uticaj je grejanje
- Kada se govori o termičkim efektima misli se na:
  - grejanje kondenzatora
  - dodatne gubitke u obrtnim mašinama i transformatorima
  - grejanje kablova i ostale opreme

# TERMIČKI EFEKTI U KONDENZATORIMA

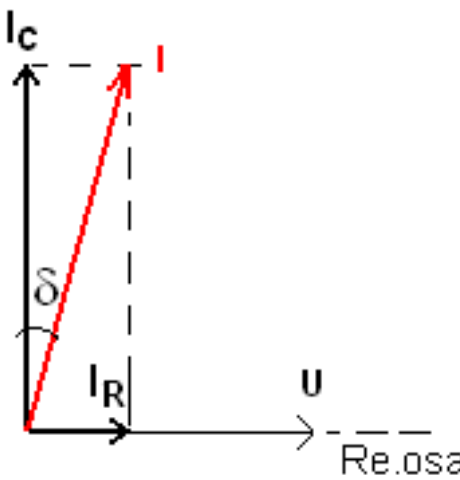
- Grejanje kondenzatora je posledica dva efekta: gubitaka usled provodnosti i dielektričnog histerezisa
- U prvoj aproksimaciji proporcionalno je kvadratu efektivne vrednosti struje
- Kondenzatori su jako osetljivi na preopterećenje, kako zbog prevelike osnovne harmonijske komponente, tako i zbog prisustva viših harmonika napona
- Preveliko grejanje može dovesti do dielektričnog proboja
- Merilo ovih gubitaka je tzv. TANGENS GUBITAKA kondenzatora koji je određen fazorskim dijagramom snaga

# TANGENS GUBITAKA

realni  
kondenzator



Fazorski  
Dijagram  
Napona i struja



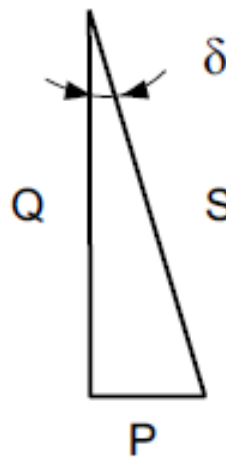
$$\operatorname{tg}\delta = I_R/I_C$$

$$I_R = U/R$$

$$I_C = U/X_C$$

$$X_C = 1/\omega C$$

Fazorski  
Dijagram  
snaga



$$\tan\delta = \frac{P}{Q}$$

$$\operatorname{tg}\delta = 1/\omega CR$$

Tipične vrednosti 1... $2 \cdot 10^{-4}$

UČESTANOST ZNAČAJNO UTIČE NA TANGENS GUBITAKA

# **GREJANJE USLED DODATNIH GUBITAKA U OBRTNIM MAŠINAMA i TRANSFORMATORIMA**

- Dodatni gubici u statoru (bakar+gvožđe) i gubici u rotoru (prigušni namotaji i magnetna kola) prouzrokovani značajnom razlikom u brzini između indukovanih obrtnih polja usled harmonika i brzine rotora
- Rotorske indukovane struje, temperature namotaja i ostale veličine je jako teško izmeriti
- Dopunski gubici u transformatorima usled površinskog-skin efekta (porast otpornosti Cu namotaja usled povišenih učestanosti), histerezisni i gubici usled vrtložnih struja (magnetnim limovima)
- Gubici usled vrtložnih struja zavise od kvadrata učestanosti

# GREJANJE U KABLOVIMA USLED VIŠIH HARMONIKA

- Gubici u kablovima se povećavaju usled harmonika struje, što dovodi do njihovog dodatnog zagrevanja
- Dodatno zagrevanje je prouzrokovano mnoštvom uticaja
- Povećanje RMS vrednosti struje za istu snagu potrošnje
- Porast otpornosti usled površinskog efekta
- Porast dielektričnih gubitaka u izolaciji sa porastom učestanosti (ako je kabl podvrgnut naponskom distorzijom)
- Blizinski efekat provodnika u odnosu na metalni kablovski plašt uzemljen na oba kraja
- Proračun gubitaka je obuhvaćen standardom IEC 60287

# **GREJANJE ELEKTRIČNE OPREME USLED VIŠIH HARMONIKA**

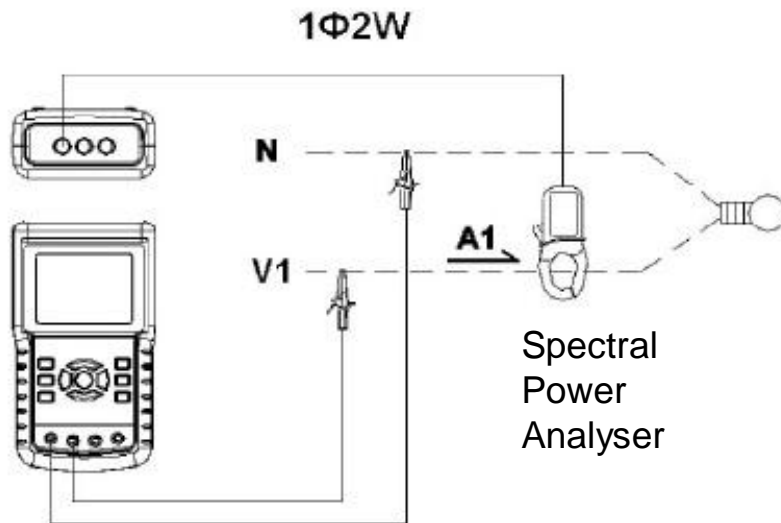
- Uopšteno govoreći, sva električna oprema (električni razvodni ormani) koja je pod dejstvom naponskih harmonika, a takođe i strujnih ( koji su posledica naponskih), je izložena porastu energije gubitaka.
- Ova energija mora biti redukovana ili čak potpuno smanjena
- Tako na primer kondenzator za kompenzaciju reaktivne energije treba da bude predimenzionisan oko 1.3 puta, ali ovaj faktor ne uzima u obzir povećano zagrevanje u provodnicima usled površinskog (skin) efekta.

# KAKO IZMERITI SADRŽAJ HARMONIKA, THD....?

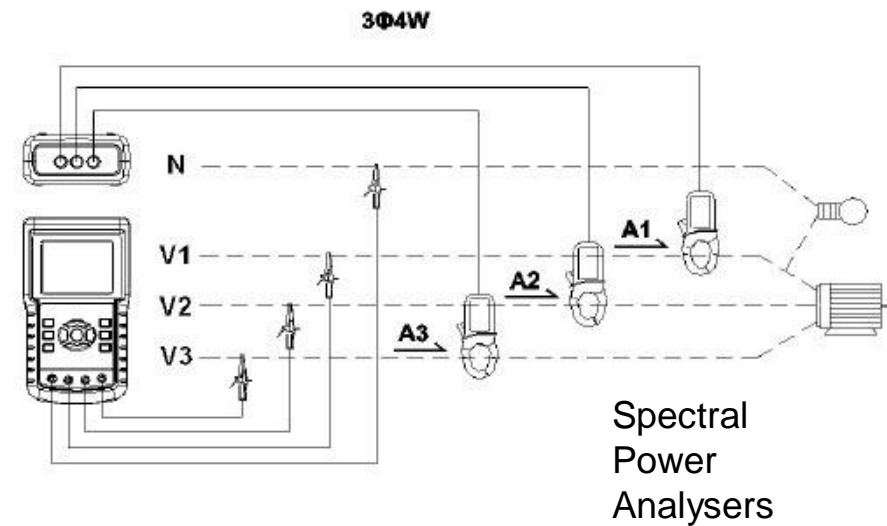
- Harmonijska distorzija struja i napona se meri korišćenjem spektralnih analizatora, koji obezbeđuju merenje amplitude svake harmonijske komponente.
- Veoma bitno je koristiti strujne i naponske senzore koji moraju imati zahtevanu tačnost (klasu tačnosti) , kao i dovoljno širok frekventni propusni opseg
- Efektivna vrednost izobličene struje se može oceniti, odnosno izmeriti na tri načina
  - *Merni elementi koji mere trenutnu stvarnu vrednost struje i stvarnu vrednost RMS (true RMS)*
  - *Rekonstrukcijom spektra koji je dobijen spektralnom analizom*
  - *Estimacijom na osciloskopskom displeju*

# TROFAZNO i MONOFAZNO MERENJE

## spektralni analizatori



Monofazno merenje

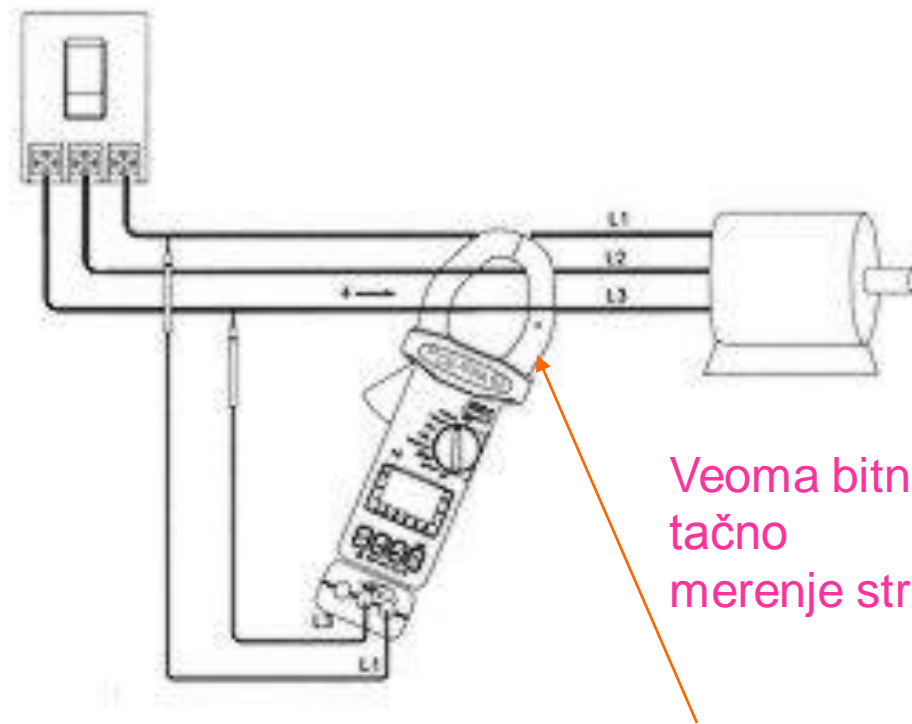


Trofazno merenje

# SPEKTRALNI ANALIZATORI (Spectral Power Analyser)



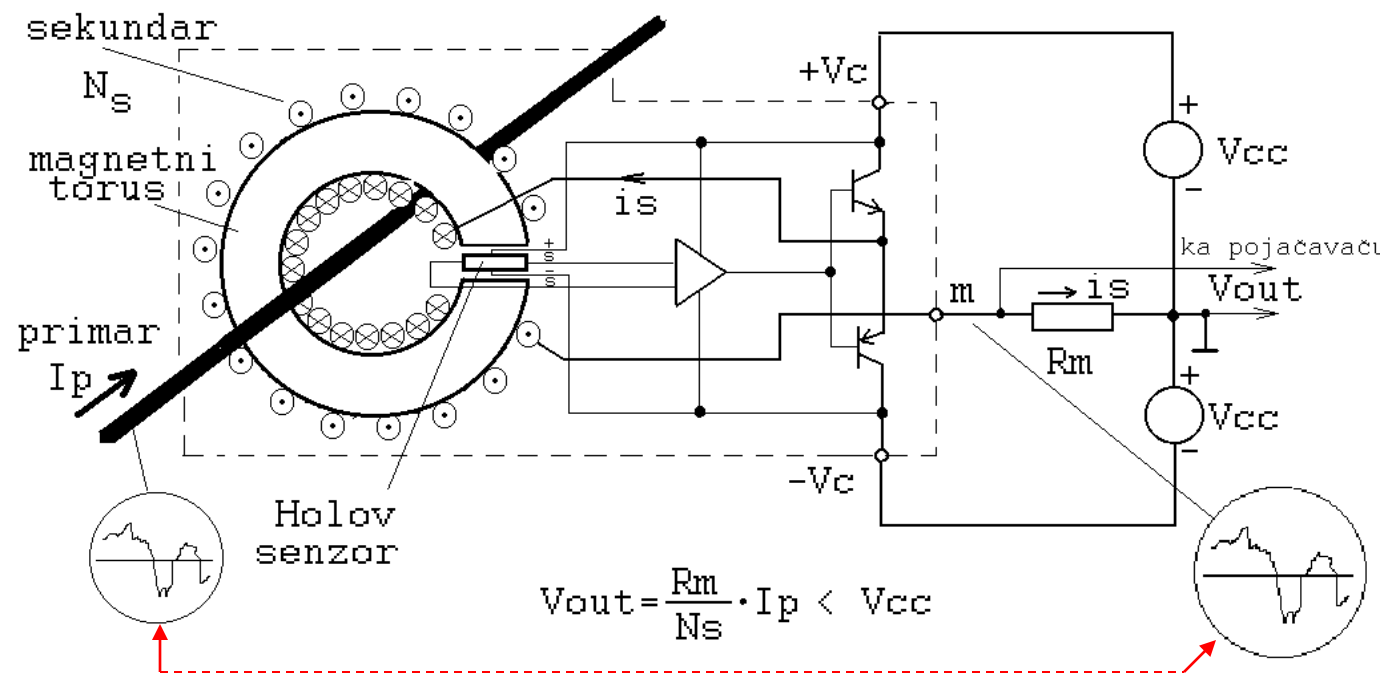
Spektralni analizatori



LEM modul

Veoma bitno je  
tačno  
merenje struje

# MERENJE TRENUĆNE VREDNOSTI STRUJE-LEM senzor



Precizno merenje trenutne vrednosti struje u širokom frekventnom opsegu (merenje veoma brzih pojava na nivou 100-200ns se ostvaruje strujnim LEM modulima). Glavni deo davača predstavlja Holov senzor koji se stavlja u procep torusa kroz koji se provlači provodnik čija se struja meri. Senzor se napaja sa eksternim naponom (tipično  $\pm 12VDC$ ), a na izlazu daje napon koji je proporcionalan indukciji u procepu odnosno vrednosti primarne struje. Signal sa senzora se pojačava i vodi na izlazni tranzistorski stepen (naponski sleditelj) koji se pobuđuje u ritmu napona na senzoru. Izlazni tranzistori ustvari napajaju namotaj na torusu tako da kompenzuju struju primara te je magnetno polje u vazdušnom procepu jednako nuli. Na otporniku se meri ova kompenzujuća struja koja je preslikana struja primara u odnosu. Prednost ovog davača sa povratnom spregom je što nema problema vezanih za zasićenje magnetnog materijala torusa i što je propusni opseg davača od DC do par stotina MHz (tipično do 200MHz). **Proticanjem kompenzacione struje kroz merni otpornik dobija se željeni napon na izlazu davača.**

# **HARMONICI-PRIHVATLJIVE GRANICE, PREPORUKE i STANDARDI**

## **OPŠTA OGRANIČENJA:**

- Sinhrone mašine : dozvoljeno izobličenje struje statora 1.3....1.4%;
- Asinhrone mašine : dozvoljeno izobličenje struje statora 1.5 .....3.5%;
- Kblovi: dozvoljeno izobličenje jezgro-plašt , naponska distorzija do 10%;
- Energetski kondenzatori: distorzija struje 83%, pri preopterećenju od 30% (1.3 puta); prekoračenje napona može dostići 10%.

# **STANDARDIZOVANI LIMITI ZA HARMONIKE**

- Serija standarda IEC-61000 za elektromagnetnu kompatibilnost definišu neke limite
- IEC 555

## NEPARNI HARMONICI NE VEĆI OD n=1

## NEPARNI HARMONICI DELJIVI SA n=3

## PARNI HARMONICI

RED HARMONIKA n	NAPONSKI HARMONICI %	RED HARMONIKA n	NAPONSKI HARMONICI %	RED HARMONIKA n	NAPONSKI HARMONICI %
5	6	3	5	2	2
7	5	9	1.5	4	1
11	3.5	15	0.3	6	0.5
13	3	21	0.2	8	0.5
17	2	>21	0.2	10	0.5
19	1.5			12	0.2
23	1.5			>12	0.2
25	1.5				
>25	0.2+0.5x25/n				

Poređenje nivoa kompatibilnosti za individualne harmonijske komponente napona u NN distributivnoj mreži (IEC 61000-2-2).

# LIMITI HARMONIJSKE EMISIJE PO IEC61000-3-2

## i IEC 555-2

Harmonic Number (n)	Class A Limits **	Class B Limits **	Class C Limits *	Class D Limits *	IEC 555-2 limits for TV(>165W)
	(A <sub>rms</sub> )	(A <sub>rms</sub> )	% Of fundamental	mA/W of input power (50-600W)	(A <sub>rms</sub> ) Max DC current<0.05A
2	1.080	1.620	2	n/a	0.300
3	2.300	3.450	30 x PF	3.4	0.800
4	0.430	0.645	n/a	n/a	0.150
5	1.440	2.160	10	1.9	0.600
6	0.300	0.450	n/a	n/a	n/a
7	0.770	1.155	7	1.0	0.450
8	0.230	0.345	n/a	n/a	n/a
9	0.400	0.600	5	0.5	0.300
10	0.184	0.276	n/a	n/a	n/a
11	0.330	0.495	3	0.35	0.170
12	0.153	0.230	n/a	n/a	n/a
13	0.210	0.315	3	0.296	0.120
Even 14-40	1.84/n	2.760/n	n/a	n/a	n/a
Odd 15-39	2.25/n	3.338/n	3	3.85/n	1.5/n

### KLASA A:

- simetrični trofazni prijemnici
- dimeri za svetiljke
- audio oprema

### KLASA B:

- Portabilni alati

### KLASA C:

- oprema za osvetljenje

### KLASA D:

- PC računari
- PC monitori
- TV prijemnici do 600W

# ZAŠTO UOPŠTE REDUKCIJA “ZAGAĐENJA” NAPOJNE MREŽE VIŠIM HARMONICIMA?????

- **POVEĆANJE EFIKASNOSTI NAPOJNE MREŽE**
  - niži gubici na mrežnoj impedansi
  - manje izobličenje napona (cross-coupling)
  - veća raspoloživa snaga izvora
  - veća efikasnost prenosnih puteva
  - bolji kvalitet električne energije
  - zadovoljenje propisa EMC
- **USAGLAŠAVANJE SA STANDARDIMA IEC 555, IEC61000, EN6055, IEEE 519, .... itd.**

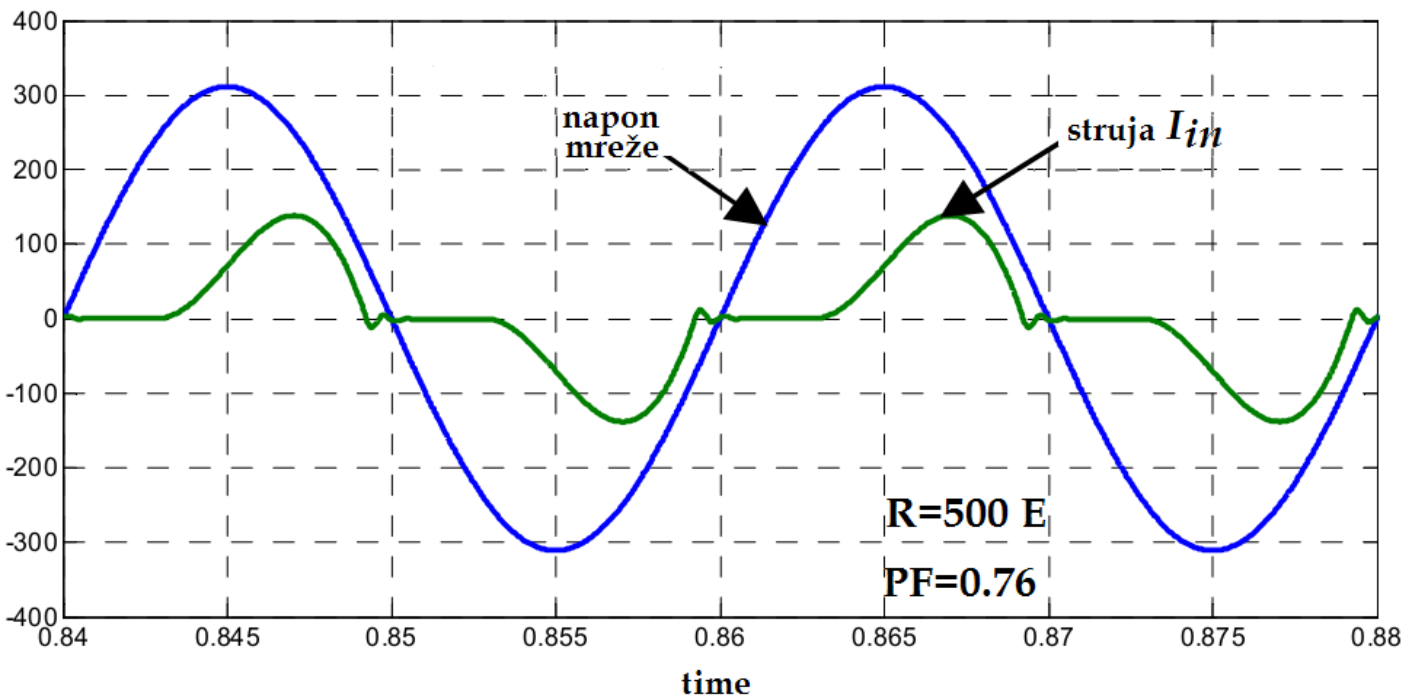
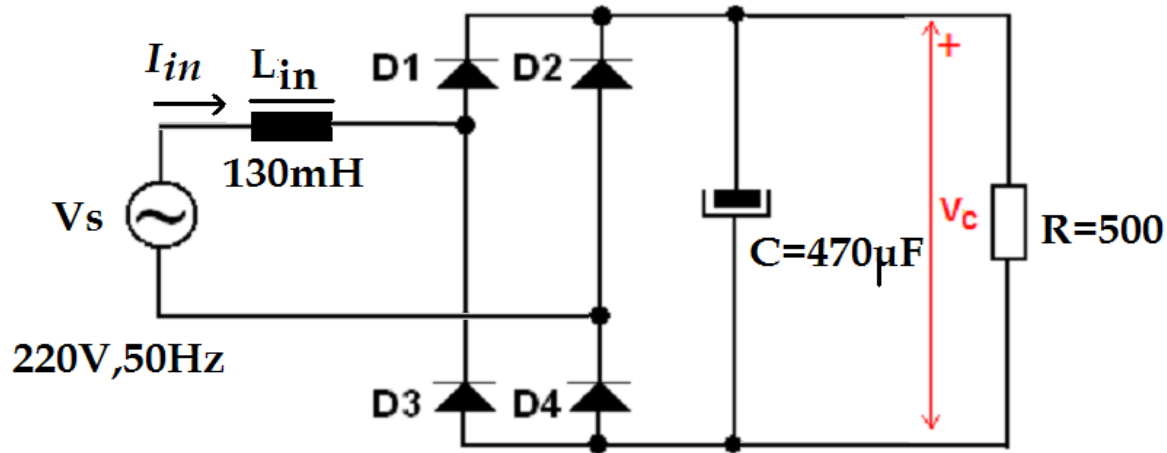
# METODE ZA ELIMINACIJU VIŠIH HARMONIKA??

- KORIŠĆENJE PASIVNIH KOMPONENTI
- KORIŠĆENJE AKTIVNIH KOMPONENTI
- NAPREDAN NAČIN: AKTIVNA KOREKCIJA  
FAKTORA SNAGE

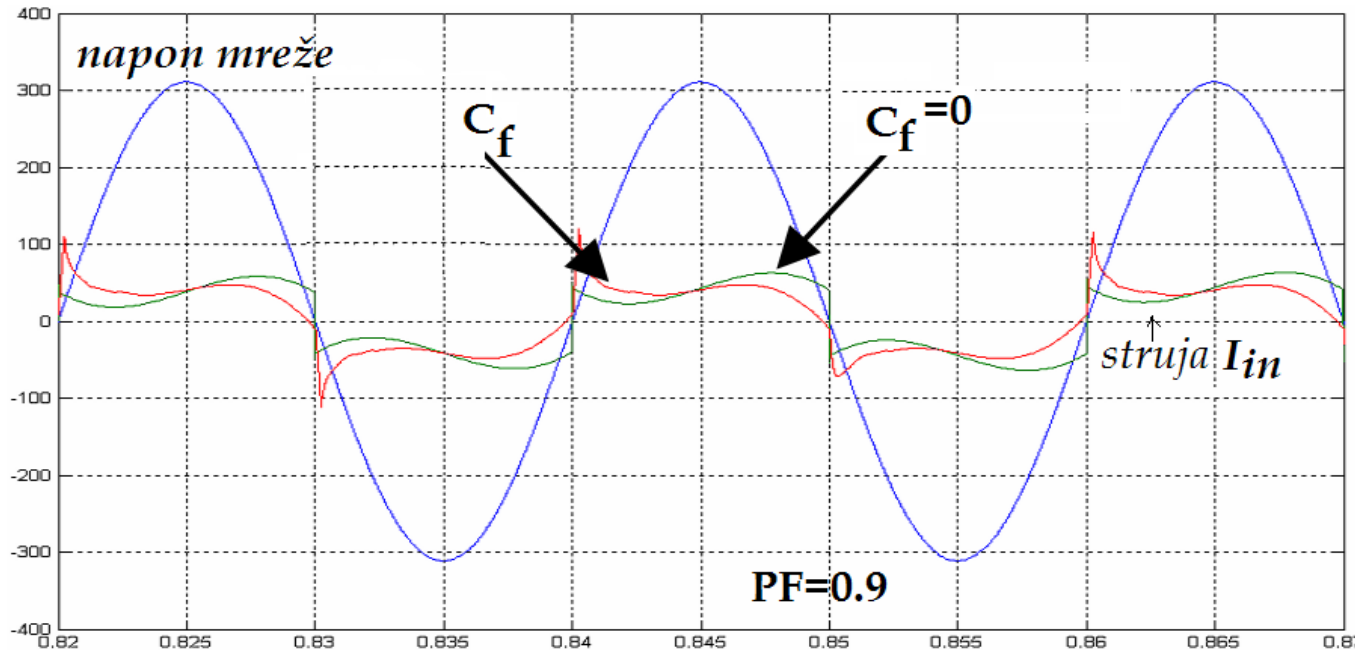
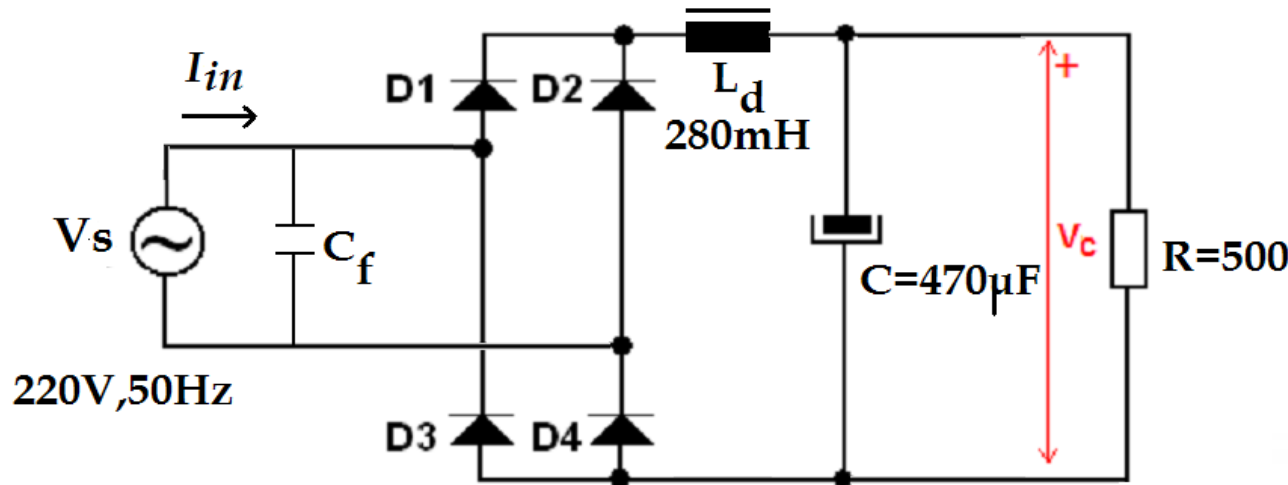
# **PASIVNE METODE ZA SUZBIJANJE VIŠIH HARMONIKA**

- **OVA METODA SE BAZIRA NA KORIŠĆENJU PASIVNIH ELEMENATA (PRIGUŠNICA I KONDENZATORA)**
- **ONA SE U NAPAJANJIMA MOŽE OSTVARITI NA VIŠE NAČINA :**
  - postavljanjem prigušnice na AC strani (ka mreži)
  - postavljanjem prigušnice na DC strani (na izlazu ispravljajača)
  - korišćenjem serijski rezonantnog LC kola na AC strani (band-pass filter)
  - korišćenjem paralelnog LC kola na AC strani (band-stop filter)
  - korišćenjem harmonijskih filtera na AC strani (trap filter)
  - korišćenjem LCD filtera na DC strani

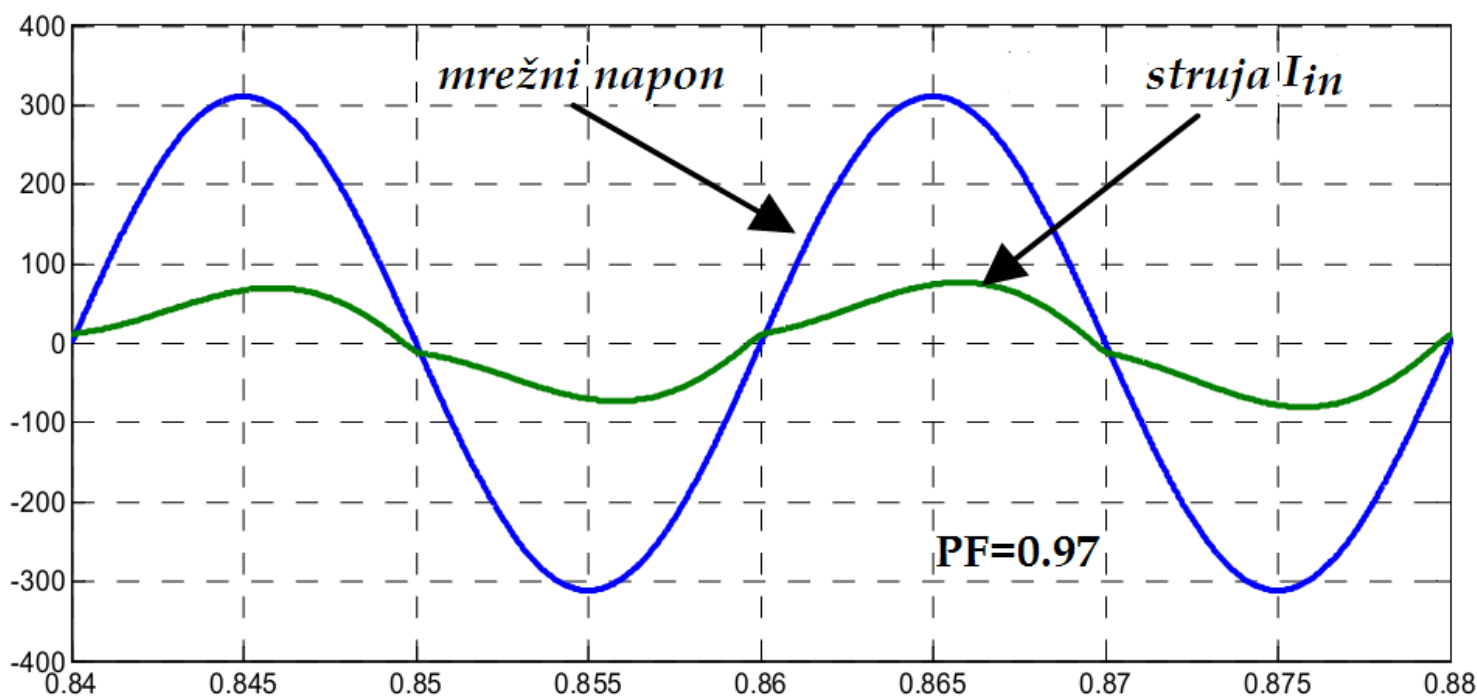
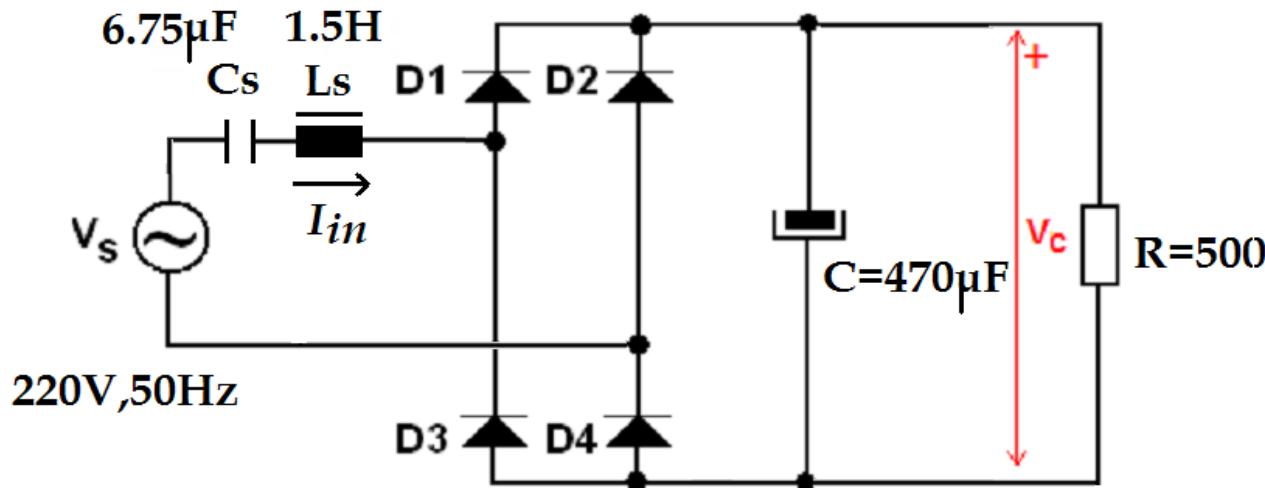
# PRIGUŠNICA NA AC STRANI (na strani mreže)



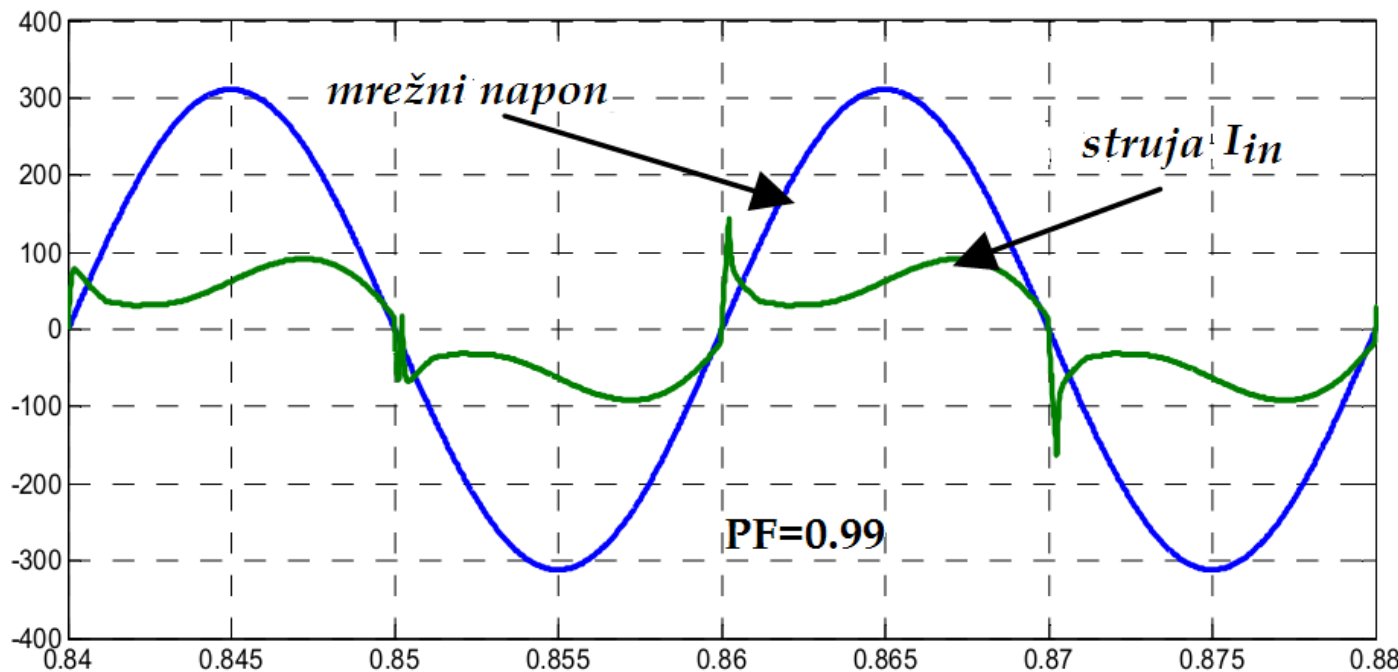
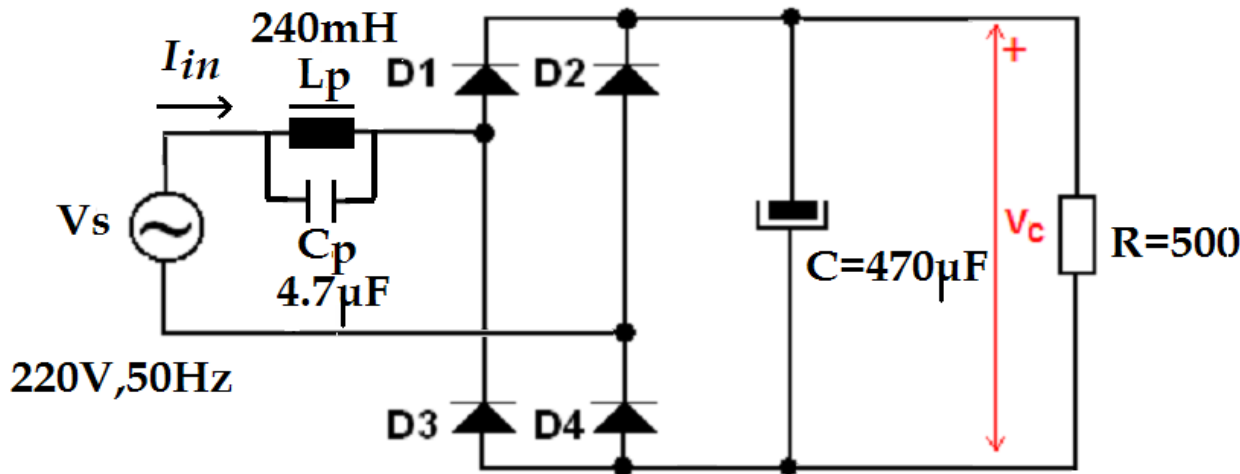
# PRIGUŠNICA NA DC STRANI (na izlazu diodnog ispravljača)



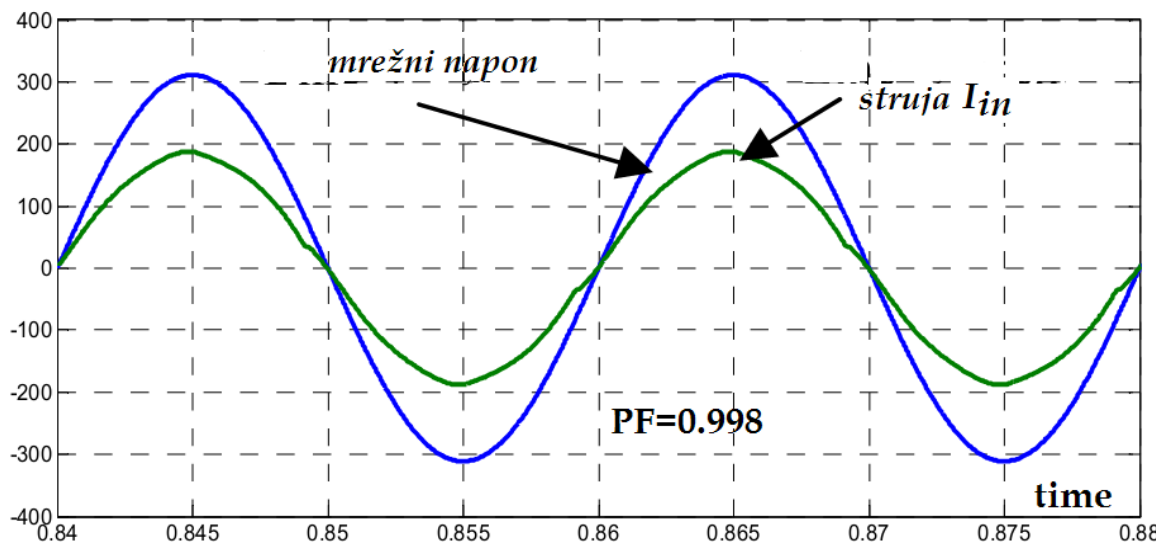
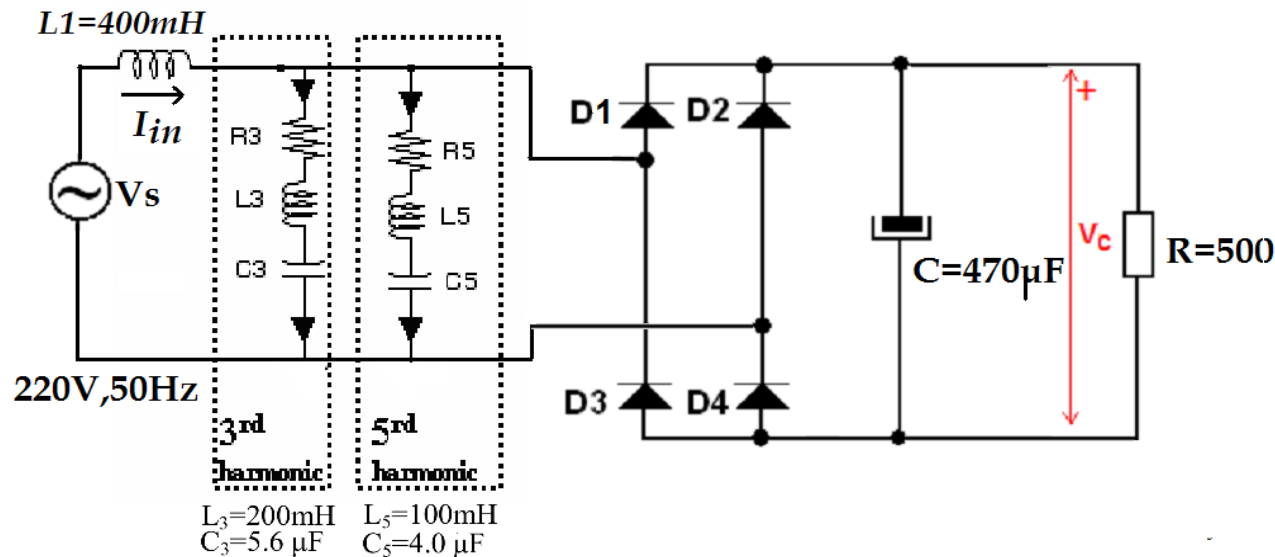
## BAND PASS SERIJSKI LC FILTAR NA AC STRANI (na strani mreže)



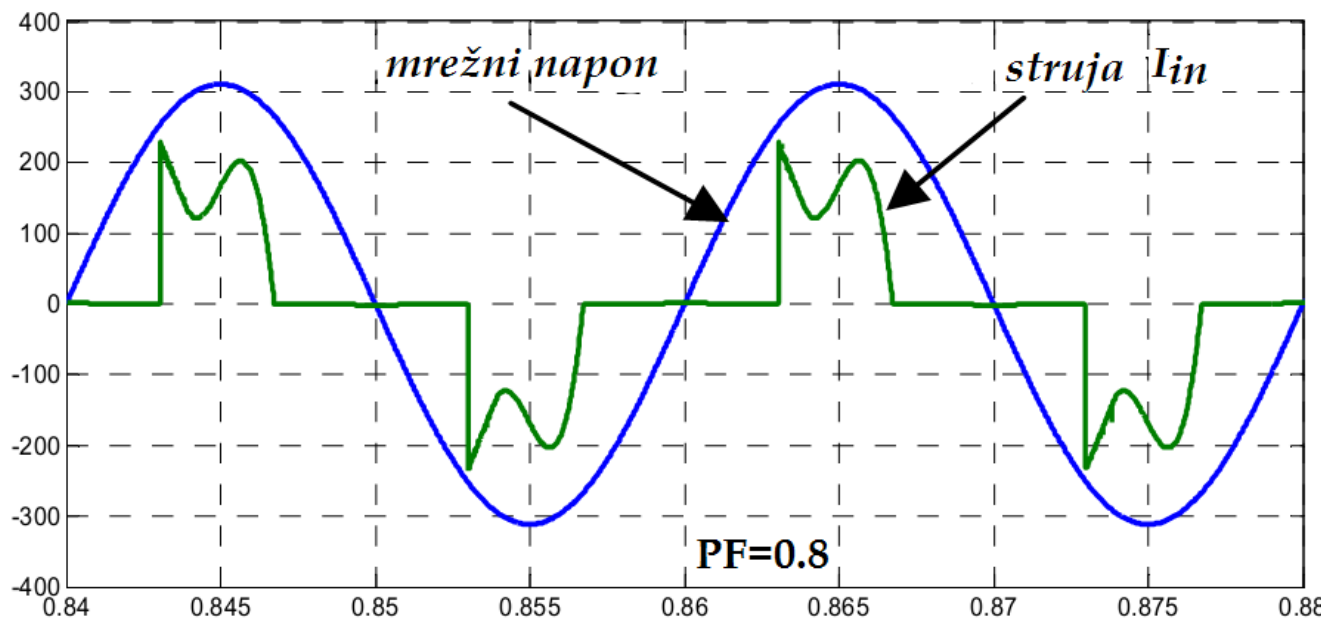
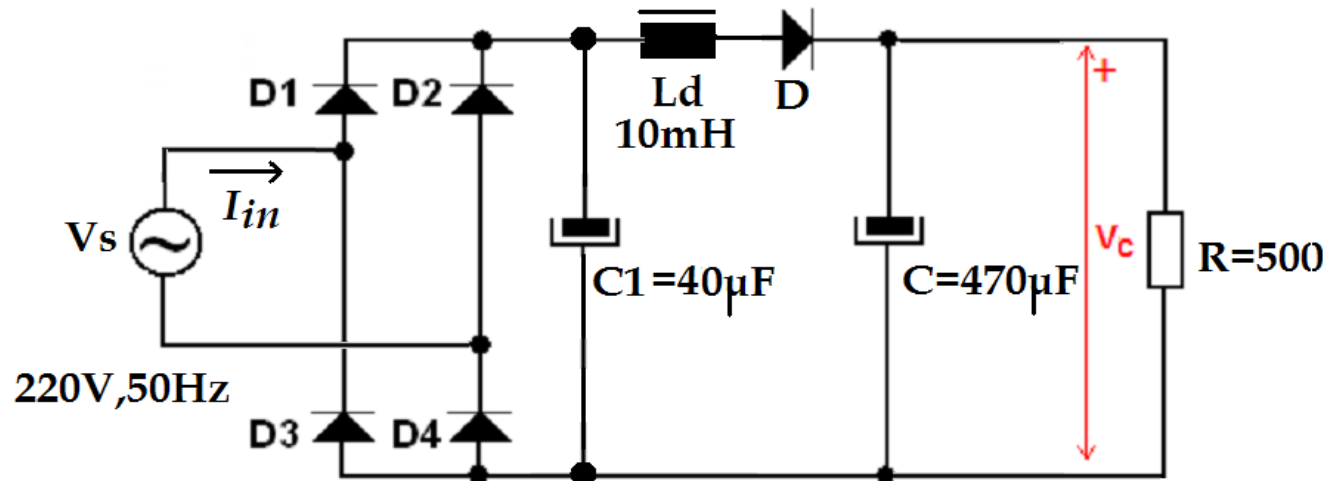
# BAND STOP PARALELNI LC FILTAR NA AC STRANI



# KORIŠĆENJE HARMONIJSKIH “TRAP” FILTERA NA AC STRANI



# LCD (L-dioda-C) filter na DC strani



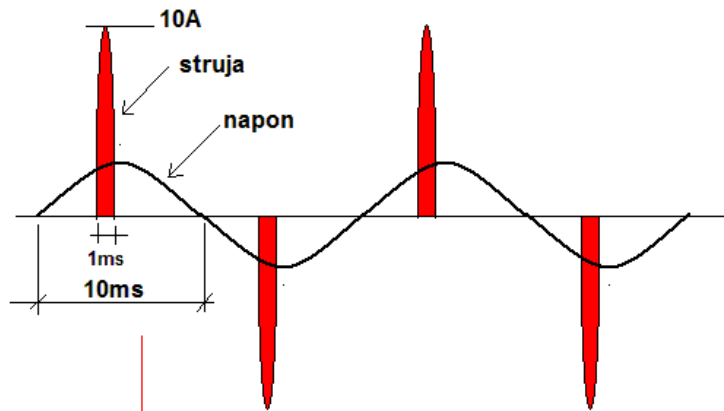
# PROBLEMI KOD PASIVNE REDUKCIJE VIŠIH HARMONIKA

- KORIŠĆENJE VELIKIH I GLOMAZNIH PASIVNIH ELEMENATA
- CENA OPREME
- ZNAČAJNA DISIPACIJA U PASIVnim ELEMENTIMA
- PROBLEM KORIŠĆENJA PRIGUŠNICA NA DC STRANI (zasićenje, DC komponenta fluksa...)
- SMANJENJE DC NAPONA NA IZLAZU ISPRAVLJAČA (koji dalje napaja ostale sklopove: invertor, potrošač,  
.....

# REŠENJE ?

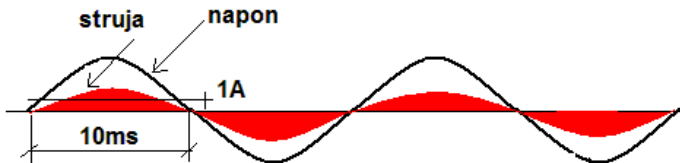
- AKTIVNA KOREKCIJA  
FAKTORA SNAGE
- *Active Power Factor  
Correction*

# POREĐENJE KLASIČNOG I SAVREMENOG REŠENJA ELIMINACIJE HARMONIKA

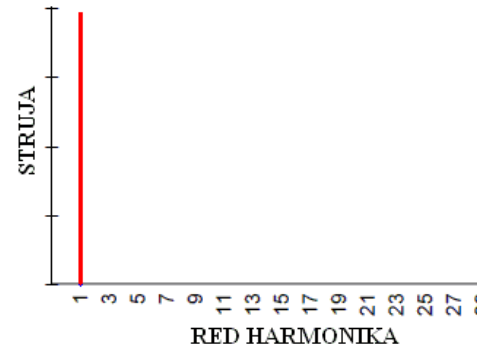
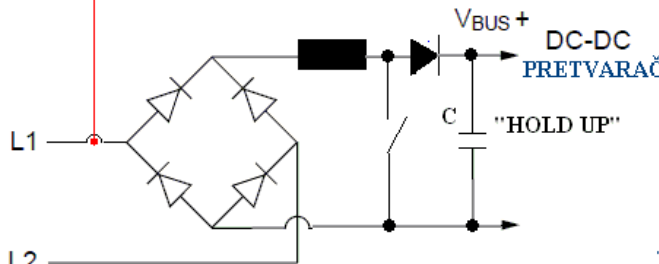
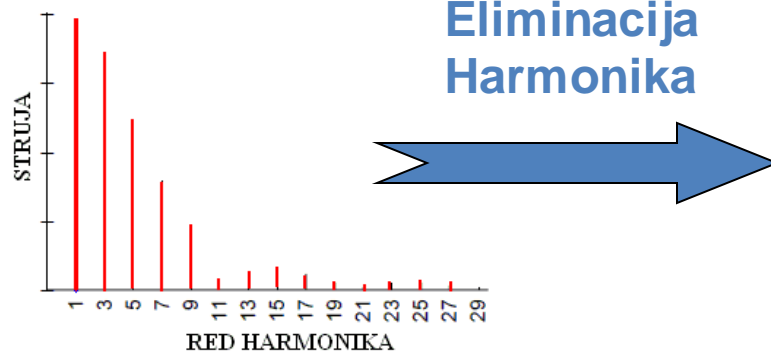
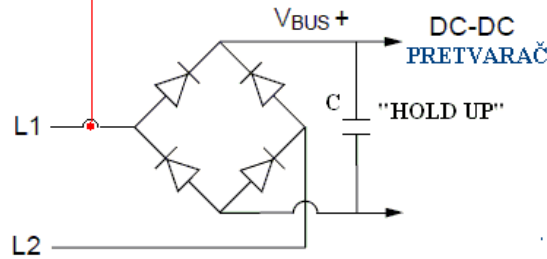


bez PFC (klasično)

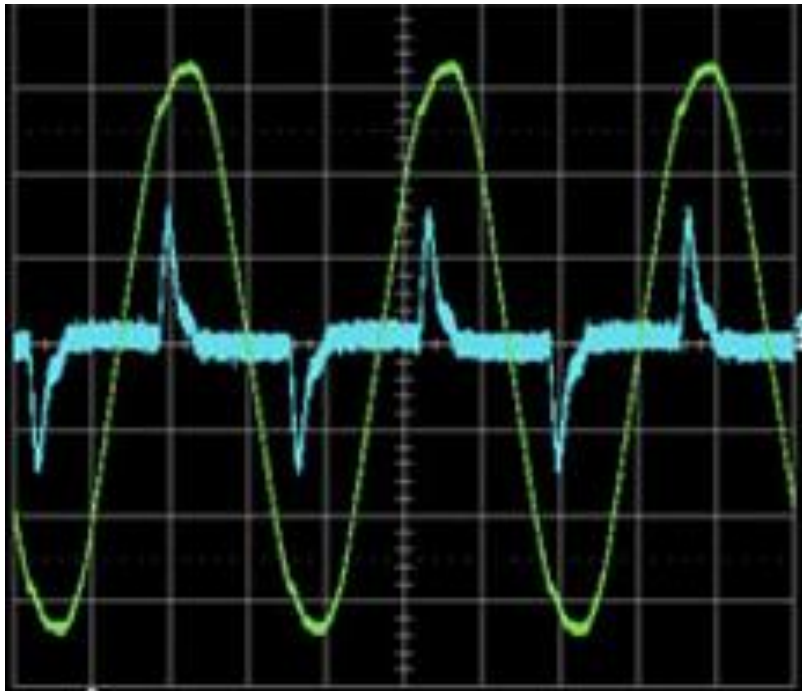
kriterijum  
 $P=\text{const}$



sa PFC (moderno)



# A KAKVI SU STVARNI TALASNI OBLICI ULAZNE STRUJE NAPAJANJA BEZ ELIMINACIJE HARMONIKA???????????



- Ulagana struja napajanja bez eliminacije harmonika
- Faktor snage: jako loš (MALI KVALITET)

ULAZNA STRUJA

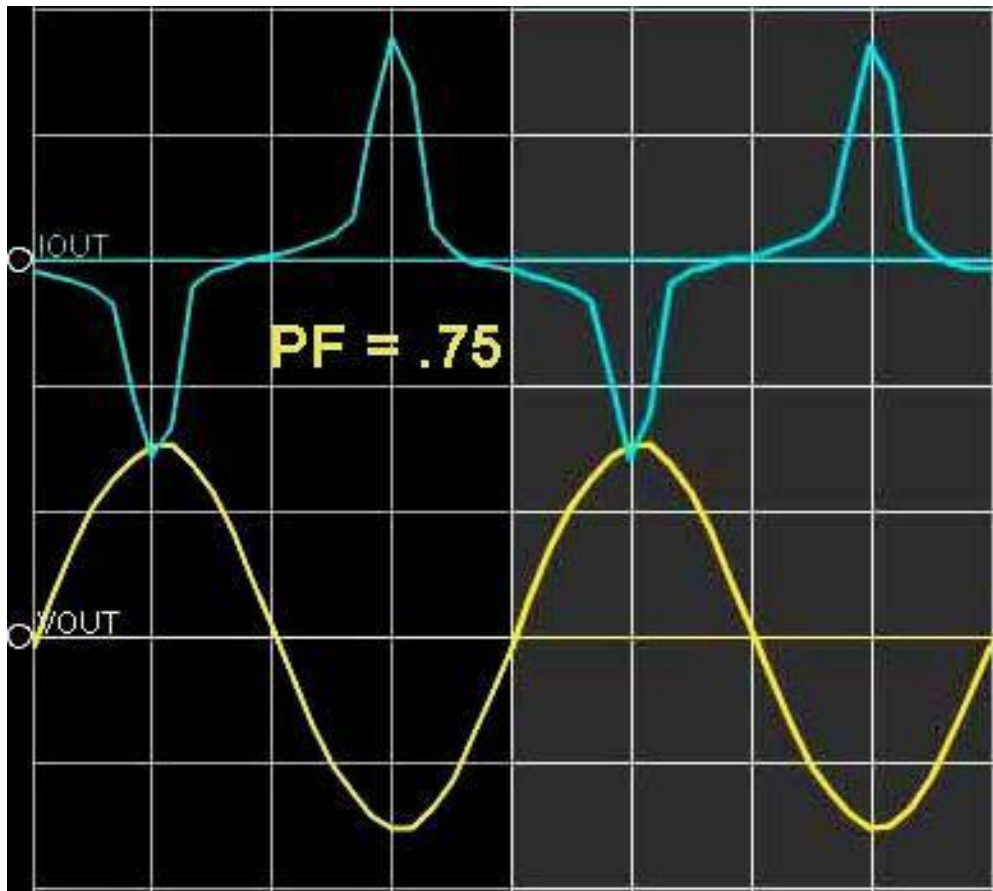
\_\_\_\_\_

10A/c

MREŽNI NAPON

\_\_\_\_\_

100V/c

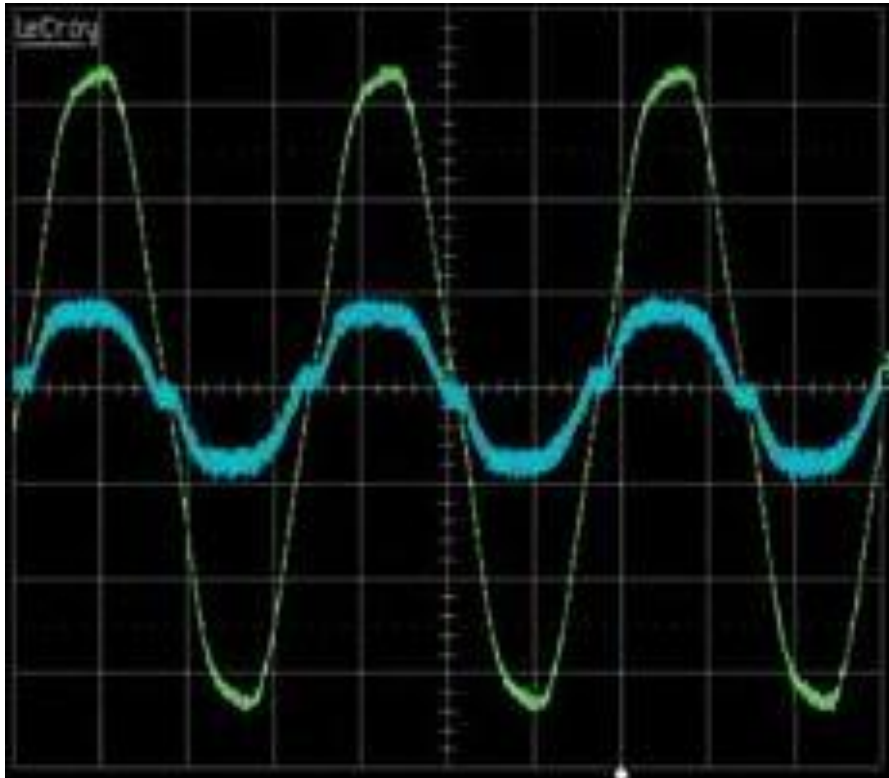


- Ulazna struja napajanja sa prigušnicom postavljenom prema mrežnom napajanju
- Faktor snage:  
 $PF=0.75$

ULAZNA STRUJA  
MREŽNI NAPON

5A/c  
200V/c

# U OVOM SLUČAJU NAPOJNA MREŽA “VIDI” ISPRAVLJAČ PRIBLIŽNO KAO OMSKU OTPORNOST



- Ulazna struja tipičnog napajanja sa korekcijom faktora snage
  - Faktor snage:  
**PF=1**
- KVALITETNI TALASNI OBЛИK STRUJE**

ULAZNA STRUJA

\_\_\_\_\_

1A/c

MREŽNI NAPON

\_\_\_\_\_

100V/c

# ZAKLJUČAK

- **ELIMINACIJOM VIŠIH HARMONIKA SE POSTIŽU SLEDEĆI POZITIVNI EFEKTI:**
  - +POVEĆANJE EFIKASNOSTI NAPOJNE MREŽE
  - +REDUKCIJA "ZAGAĐENJA" NAPOJNE MREŽE
- **U VEĆINI ZEMALJA U SVETU SU USVOJENI STANDARDI ZA PFC : IEC 555, IEC61000, EN6055, IEEE 519, .... itd.**
- **U BUDUĆNOSTI TREBA OČEKIVATI USVAJANJE OVIH STANDARDA I KOD NAS**
- **DOBAR RAZLOG I MOTIV ZA PROUČAVANJE OVE OBLASTI!!!!!!**

**Hvala na pažnji!!!**

**PITANJA??**

**DILEME!!!**